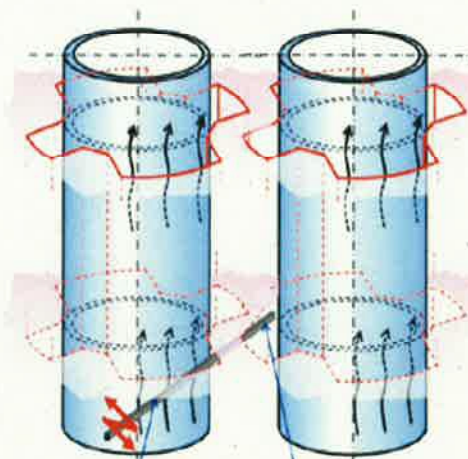


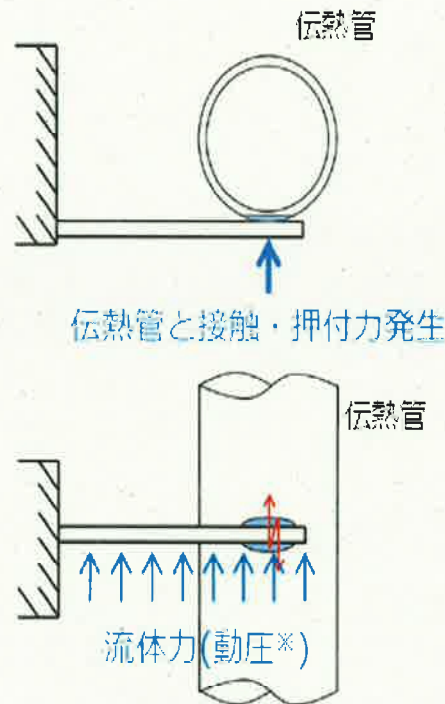
○スケール振動のケース

- ・スケールの端部が拘束されたと想定する (片持ち梁と仮定)。
- ・スケールでは流体力を受ける面積が小さいため、ワークレートは小さく、有意な摩耗減肉が発生しないことを確認した。



スケール片の端部が伝熱管と接触
 スケール片の他端は拘束されたと仮定

減肉メカニズム概要



計算モデル (片持ち梁)

* 3次元熱流動解析により算出

<片持ち梁の場合のワークレート計算式>

$$W_R = F \times 2L / \zeta \times f$$

W_R : ワークレート[W]

F : 押付力[N]

L : 静的振幅[m]

ζ : 接触物の減衰比[%]

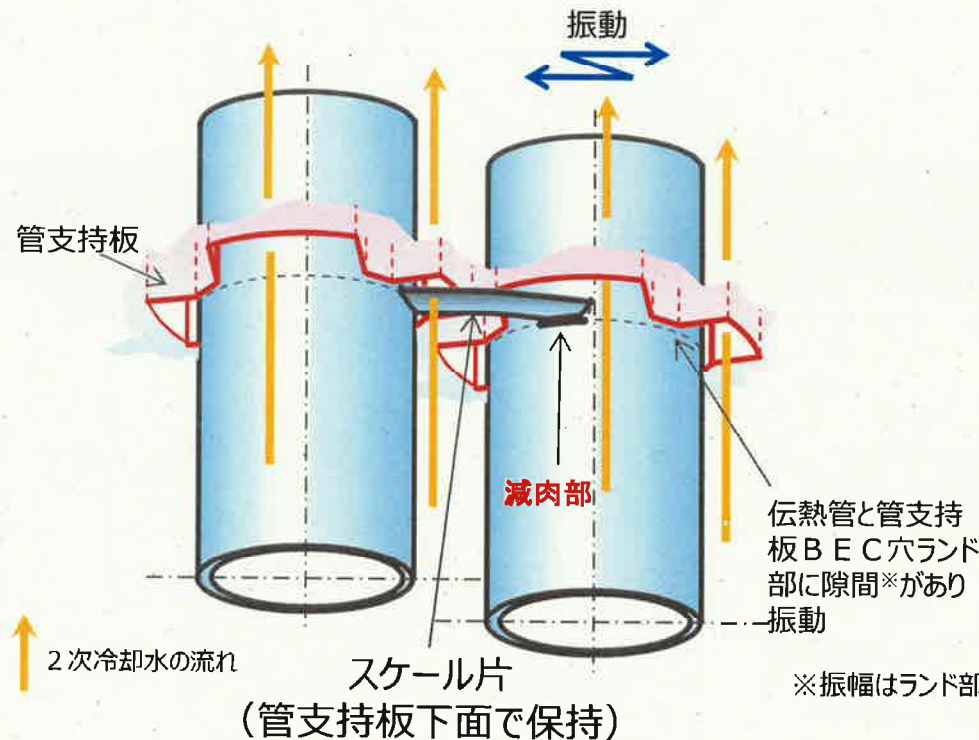
f : 固有振動数[Hz]

ワークレート試算結果

スケール	押付力 (N)	ワークレート (mW)	実機減肉量再現可能性
A	1	<0.01	×
C 2	1	<0.01	×
C 3	1	<0.01	×
C 4	1	<0.01	×

○伝熱管振動のケース

- ・2次冷却水の流れによる伝熱管のランダム振動により伝熱管自身に摩耗減肉が発生することを想定する。
- ・流動振動解析によりワークレートを試算すると、スケール振動のケースに比べて十分大きなワークレートが得られることを確認した。



※振幅はランド部により制限されており、減肉深さには上限がある。

ワークレート試算結果

評価伝熱管	押付力 (N)	ワークレート (mW)	実機減肉量再現可能性
A-SG X51,Y4	約1	約3	○
C-SG X21,Y8		約2	
C-SG X55,Y3		約3	
C-SG X55,Y8		約2	

今回の摩耗減肉は、伝熱管振動によって生じたものと推定される。

3. 減肉メカニズム (スケールにより伝熱管を損傷させる可能性 10/18) 48

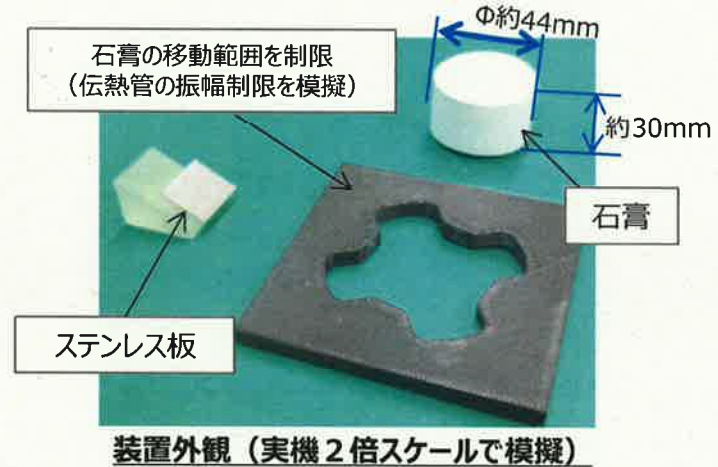
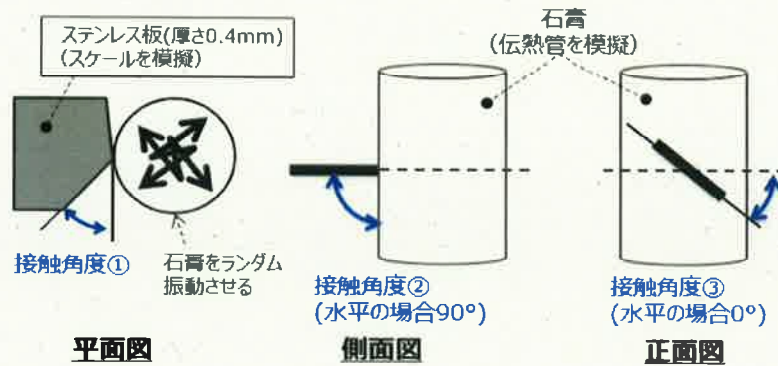
○減肉試験

推定したスケールと伝熱管の接触状態および摩耗形態で実機の減肉形状が生じるか把握するため、減肉試験（加速試験）を実施した。

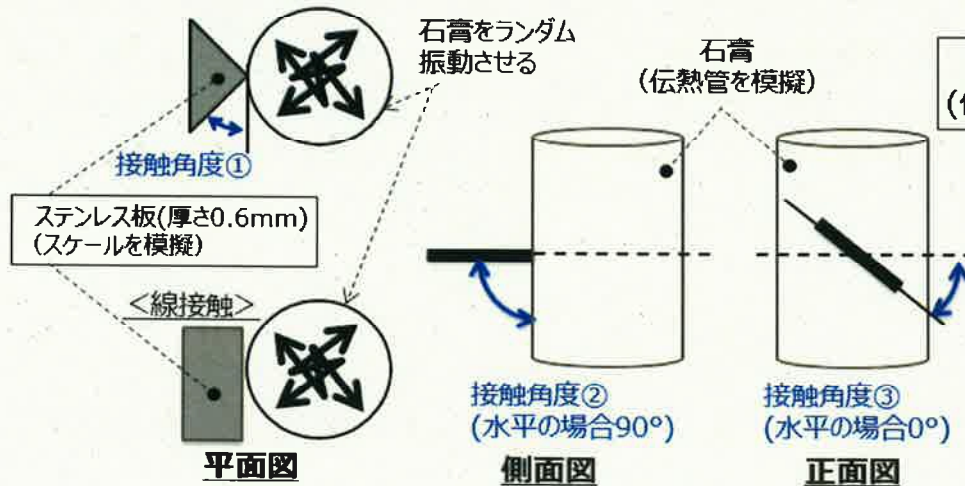
<試験方法>

- ・伝熱管は石膏で、スケールはステンレス板で模擬 ・ステンレス板に石膏を接触させ、石膏を振動させることにより摩耗減肉を模擬
- ・ステンレス板の接触角度（①接線方向および②軸方向③接線方向の傾き）を変化させ、摩耗減肉形状を模擬

(スケールAの場合)



(スケールC 2～C 4の場合)



3. 減肉メカニズム (スケールにより伝熱管を損傷させる可能性 11/18) 49

○減肉試験

<試験条件>

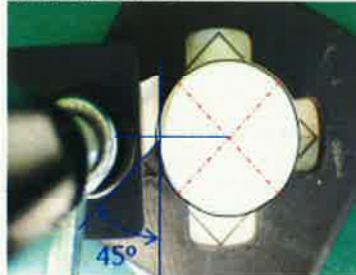
対象伝熱管	振動モード	接触角度①	接触角度②	接触角度③	振動振幅 (2倍スケール)
A-SG: X51, Y4 (スケールA)	伝熱管 振動	45°	135°	40°	[Redacted]
C-SG: X55, Y8 (スケールC2)		0°	90°	0°	
C-SG: X21, Y8 (スケールC3)		0°	90°	0°	
C-SG: X55, Y3 (スケールC4)		0°	90°	0°	

・A-SGの減肉痕について、次のとおり減肉形状を取得した。

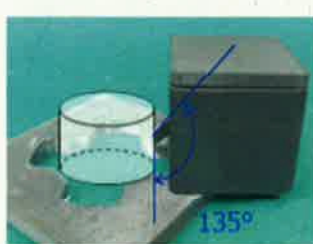
模擬スケール (ステンレス板)



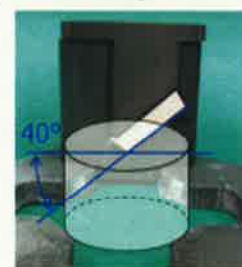
接触角度①: 45°



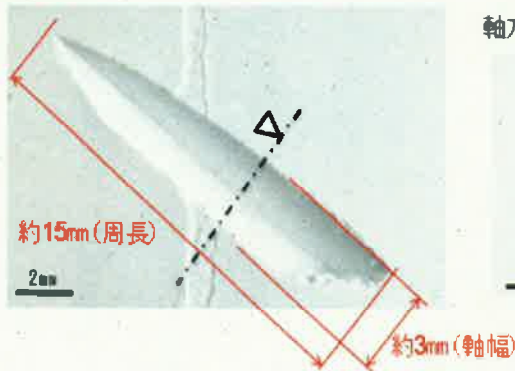
接触角度②: 135°



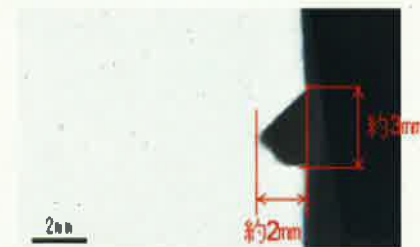
接触角度③: 40°



周方向断面



軸方向断面



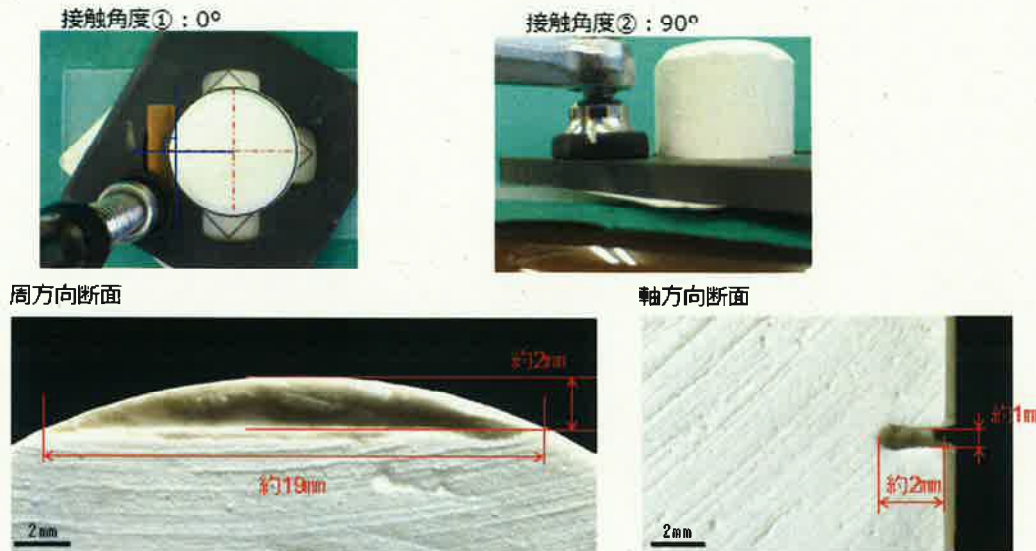
スケールA	減肉試験結果	実機相当寸法
深さ	約2mm	約0.4mm
軸方向長さ	約3mm	約0.7mm
周方向長さ	約15mm	約3mm

[Redacted] : 枠組みの範囲は機密に係る事項ですので公開することはできません。

3. 減肉メカニズム (スケールにより伝熱管を損傷させる可能性 12 / 18) 50

○減肉試験

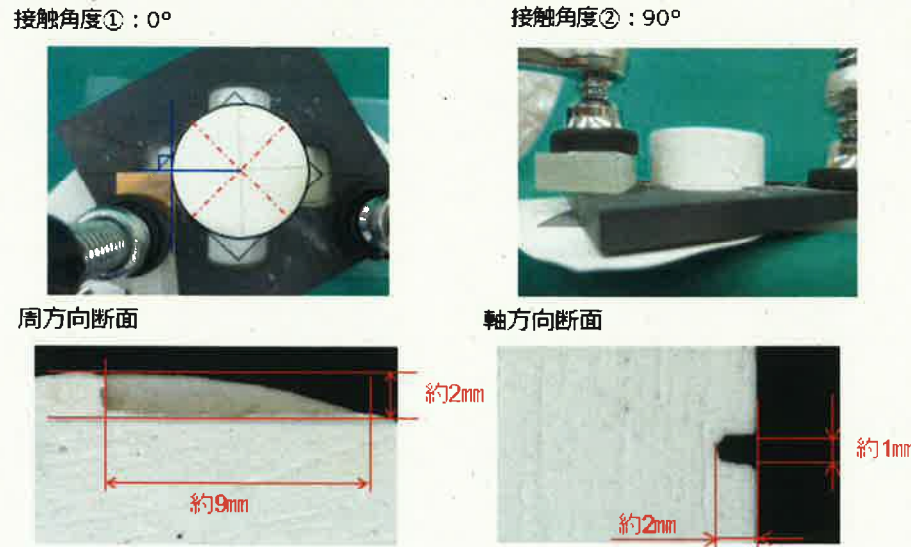
- ・C-SGの減肉痕について、次のとおり減肉形状を取得した。
(スケールC2およびC3)



スケールC2	減肉試験結果	実機相当寸法
深さ	約2mm	約0.4mm
軸方向長さ	約1mm	約0.3mm
周方向長さ	約19mm	約6mm

スケールC3	減肉試験結果	実機相当寸法
深さ	約2mm	約0.5mm
軸方向長さ	約1mm	約0.3mm
周方向長さ	約19mm	約6mm

(スケールC4)



スケールC4	減肉試験結果	実機相当寸法
深さ	約2mm	約0.3mm
軸方向長さ	約1mm	約0.3mm
周方向長さ	約9mm	約3mm

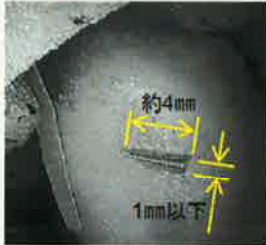

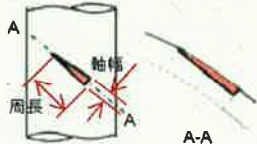

3. 減肉メカニズム (スケールにより伝熱管を損傷させる可能性 13/18) 51

○ ECTモックアップ試験

A-SGについて、減肉試験で取得した減肉形状と同等の人工欠陥をTT600伝熱管モックアップに付与し、ECT信号を取得した結果、実機信号と整合性を確認した。

<試験条件>



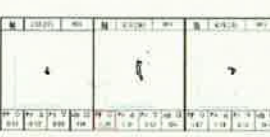









- ・人工欠陥寸法の幅および長さ：減肉試験で得られた実機相当寸法
- ・人工欠陥寸法の深さ：実機のECT信号


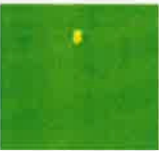

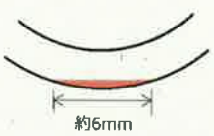


	MIX 色調図	MIX リサーチ	実機信号 整合性																																																						
<p>実機 A X51, Y4 周長(目視): 約4mm</p>  <p>ECT減肉指示深さ: 33%</p>	<p>振幅: 0.36 V 位相: 118°</p> 	<table border="1"> <thead> <tr> <th>輪</th> <th>C1(1)</th> <th>MIX</th> <th>輪</th> <th>CN(24)</th> <th>MIX</th> <th>輪</th> <th>C23(23)</th> <th>MIX</th> </tr> </thead> <tbody> <tr> <td></td> <td></td> <td></td> <td></td> <td></td> <td></td> <td></td> <td></td> <td></td> </tr> <tr> <td>PP</td> <td>0</td> <td>PV</td> <td>Δ</td> <td>PK</td> <td>▽</td> <td>AN</td> <td>□</td> <td></td> </tr> <tr> <td></td> <td>027</td> <td>0.20</td> <td>0.22</td> <td>35</td> <td>0.56</td> <td>0.34</td> <td>0.20</td> <td>110</td> </tr> <tr> <td>PP</td> <td>0</td> <td>PV</td> <td>Δ</td> <td>PK</td> <td>▽</td> <td>AN</td> <td>□</td> <td></td> </tr> <tr> <td></td> <td>030</td> <td>0.28</td> <td>0.23</td> <td>76</td> <td></td> <td></td> <td></td> <td></td> </tr> </tbody> </table>	輪	C1(1)	MIX	輪	CN(24)	MIX	輪	C23(23)	MIX										PP	0	PV	Δ	PK	▽	AN	□			027	0.20	0.22	35	0.56	0.34	0.20	110	PP	0	PV	Δ	PK	▽	AN	□			030	0.28	0.23	76					—
輪	C1(1)	MIX	輪	CN(24)	MIX	輪	C23(23)	MIX																																																	
PP	0	PV	Δ	PK	▽	AN	□																																																		
	027	0.20	0.22	35	0.56	0.34	0.20	110																																																	
PP	0	PV	Δ	PK	▽	AN	□																																																		
	030	0.28	0.23	76																																																					
<p>モックアップ [33%減肉] 周長: 約3mm 軸長: 約0.7mm</p> 	<p>振幅: 0.26 V 位相: 105°</p> 	<table border="1"> <thead> <tr> <th>輪</th> <th>C14(14)</th> <th>MIX</th> <th>輪</th> <th>C13(13)</th> <th>MIX</th> <th>輪</th> <th>C12(12)</th> <th>MIX</th> </tr> </thead> <tbody> <tr> <td></td> <td></td> <td></td> <td></td> <td></td> <td></td> <td></td> <td></td> <td></td> </tr> <tr> <td>PP</td> <td>0</td> <td>PV</td> <td>Δ</td> <td>PK</td> <td>▽</td> <td>AN</td> <td>□</td> <td></td> </tr> <tr> <td></td> <td>019</td> <td>0.19</td> <td>0.11</td> <td>44</td> <td>0.26</td> <td>0.26</td> <td>0.10</td> <td>105</td> </tr> <tr> <td>PP</td> <td>0</td> <td>PV</td> <td>Δ</td> <td>PK</td> <td>▽</td> <td>AN</td> <td>□</td> <td></td> </tr> <tr> <td></td> <td>017</td> <td>0.17</td> <td>0.09</td> <td>90</td> <td></td> <td></td> <td></td> <td></td> </tr> </tbody> </table>	輪	C14(14)	MIX	輪	C13(13)	MIX	輪	C12(12)	MIX										PP	0	PV	Δ	PK	▽	AN	□			019	0.19	0.11	44	0.26	0.26	0.10	105	PP	0	PV	Δ	PK	▽	AN	□			017	0.17	0.09	90					○
輪	C14(14)	MIX	輪	C13(13)	MIX	輪	C12(12)	MIX																																																	
PP	0	PV	Δ	PK	▽	AN	□																																																		
	019	0.19	0.11	44	0.26	0.26	0.10	105																																																	
PP	0	PV	Δ	PK	▽	AN	□																																																		
	017	0.17	0.09	90																																																					

3. 減肉メカニズム (スケールにより伝熱管を損傷させる可能性 14 / 18) 52

○ ECTモックアップ試験

C-SGについても、減肉試験で取得した減肉形状と同等の人工欠陥をTT600伝熱管モックアップに付与し、ECT信号を取得した結果、**実機信号と整合性を確認した。**

	MIX 色調図	MIX リサーチ	実機信号 整合性		MIX 色調図	MIX リサーチ	実機信号 整合性
実機 C X21, Y8 周長(目視): 約7mm  ECT減肉指示深さ: 36%	振幅: 0.39 V 位相: 106° 		—	実機 C X55, Y3 周長(目視): 約2mm  ECT減肉指示深さ: 25%	振幅: 0.29 V 位相: 92° 		—
モックアップ [31%減肉] 周長: 約6mm 軸長: 約0.3mm  約6mm	振幅: 0.38 V 位相: 101° 		○	モックアップ [31%減肉] 周長: 約3mm 軸長: 約0.3mm  約3mm	振幅: 0.29 V 位相: 87° 		○

	MIX 色調図	MIX リサーチ	実機信号 整合性
実機 C X55, Y8 周長(目視): 約6mm  ECT減肉指示深さ: 32%	振幅: 0.38 V 位相: 109° 		—
モックアップ [31%減肉] 周長: 約6mm 軸長: 約0.3mm  約6mm	振幅: 0.38 V 位相: 101° 		○

3. 減肉メカニズム (スケールにより伝熱管を損傷させる可能性 15 / 18) 53

○ワークレートによる摩耗体積評価

- ・流動振動解析により得られたワークレートから算出した1サイクルで発生する摩耗体積と、実機 E C T 結果との整合性が確認された人工欠陥の体積を比較した。
- ・その結果、解析による摩耗体積と人工欠陥の体積がほぼ一致することを確認した。

E C T モックアップ試験により実機整合性を確認した減肉形状の体積

対象	確認手段	減肉形状 [mm]			摩耗体積 [mm ³]
		深さ	軸方向長さ	周方向長さ	
A-SG : X 5 1, Y 4	目視	—	1以下	約4	—
	ECTモックアップ試験	約0.4	約0.7	約3	約0.3
C-SG : X 2 1, Y 8	目視	—	1以下	約7	—
	ECTモックアップ試験	約0.5	約0.3	約6	約0.5
C-SG : X 5 5, Y 3	目視	—	約1	約2	—
	ECTモックアップ試験	約0.3	約0.3	約3	約0.2
C-SG : X 5 5, Y 8	目視	—	1以下	約6	—
	ECTモックアップ試験	約0.4	約0.3	約6	約0.5

流動振動解析により得られたワークレートから算出した摩耗体積

対象	比摩耗量 [m ² /N]	ワークレート [mW]	運転時間 [hr]	摩耗体積 [mm ³]
A-SG : X 5 1, Y 4	[REDACTED]	約3	約5,800	約0.5
C-SG : X 2 1, Y 8		約2	約5,800	約0.5
C-SG : X 5 5, Y 3		約3	約5,800	約0.5
C-SG : X 5 5, Y 8		約2	約5,800	約0.5

[REDACTED] : 枠組みの範囲は機密に係る事項ですので公開することはできません。

3. 減肉メカニズム (スケールにより伝熱管を損傷させる可能性 16/18) 54

○高浜発電所 3号機および4号機の特異性

鉄の持込み量について、比較のため当社他プラントの調査を実施した。また、当社他プラントでは薬品洗浄を実施しており、スケール性状に影響を与えている可能性があることから、その実績を確認した。さらに、スケールの厚さ増加や長期停止による剥離挙動の影響は、スケール回収量に現れている可能性があることから、あわせて比較調査を実施した。

○鉄持込み量*および薬品洗浄実績

各プラントの鉄持込み量および薬品洗浄実績を調査した結果は下表とおりであり、鉄持込み量は高浜発電所 3号機および4号機が最も大きく、続いて大飯発電所 3号機および4号機であり、S G取替を実施している美浜発電所 3号機ならびに高浜発電所 1号機および2号機が最も小さいことを確認した。

以上から、鉄持込み量が最大の高浜発電所 3号機および4号機のスケールが、最も稠密層が厚く成長しているものと推定した。

	高浜 3	高浜 4	大飯 3	大飯 4	美浜 3	高浜 1	高浜 2
運転時間 (万時間)	22.3	22.2	17.0	17.2	9.0	10.9	12.5
鉄持込み量 (kg)	2,620	2,490	1,850	1,950	780	680	940
薬品洗浄 実績回数			2回	1回			
薬品洗浄 実績時間 (万時間)	-	-	16.1 (第17回定期検査) 17.0 (第18回定期検査)	16.2 (第16回定期検査)	-	-	-

美浜発電所 3号機、高浜発電所 1号機および2号機については、S G取替以降の運転時間を示す。

※：①給水ヘッドから給水を約20ccサンプリングし、それに酸を加えて加熱することで鉄イオン溶液にする。

②①の溶液を、質量分析器にかけ、鉄質量 (μg/リットル) を算出する。(標準試料と鉄イオン濃度との比較で、鉄質量を算出)

③鉄質量 (μg/リットル) に、給水流量 (5,210t/h)、運転時間を乗じて、鉄持ち込み量 (鉄) を算出する。

④鉄持ち込み量 (鉄) に質量比 (1.382) を乗じて、鉄持ち込み量 (マグネタイト量) を算出する。

3. 減肉メカニズム (スケールにより伝熱管を損傷させる可能性 17/18) 55

○スケール回収量

スケール回収量を確認した結果、高浜発電所 3 号機および 4 号機では、いずれも長期停止後にスケール回収量が増加していた。

一方、大飯発電所 3 号機および 4 号機では長期停止前後でスケール回収量に変化が認められなかった。

これにより、長期停止に伴うスケール剥離の増加は、スケールが厚く成長した S G ほど顕著であると推定される。

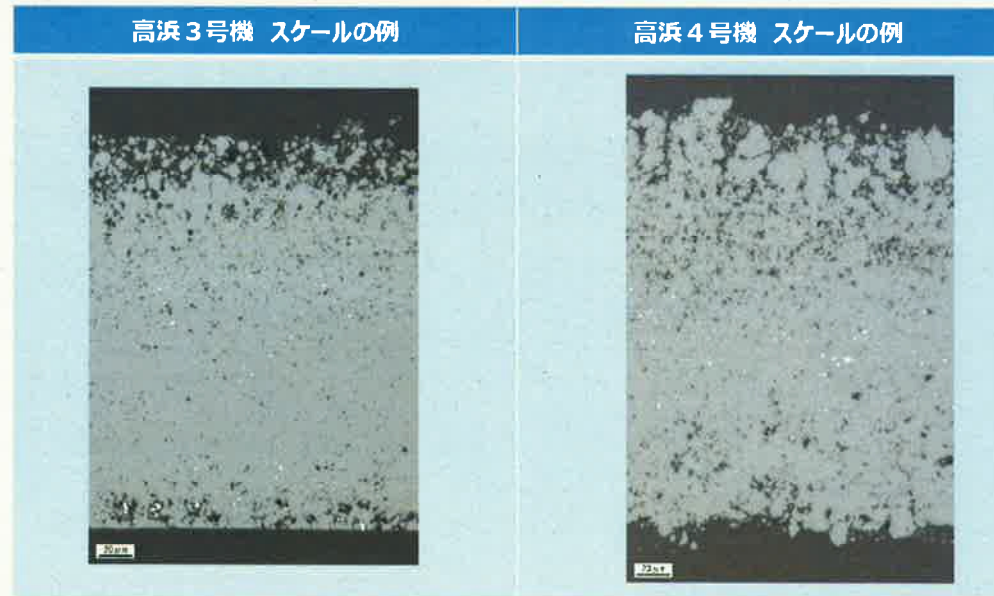
プラント	長期停止前 (kg)	長期停止後 (kg)		
高浜 3 号機	0.01未満 (第21回定期検査)	0.41 (第22回定期検査)	0.24 (第23回定期検査)	0.36 (第24回定期検査)
高浜 4 号機	0.01未満 (第20回定期検査)	12.37 (第21回定期検査)	8.24 (第22回定期検査)	—
大飯 3 号機	0.01未満 (第16回定期検査)	0.01未満 (第17回定期検査)	0.01未満 (第18回定期検査)	—
大飯 4 号機	0.01未満 (第15回定期検査)	0.01未満 (第16回定期検査)	0.01未満 (第17回定期検査)	—

3. 減肉メカニズム (スケールにより伝熱管を損傷させる可能性 18/18) 56

○当社他プラントとの実機スケール比較

スケールの稠密層厚さが鉄持込み量と相関するかを検証するため、当社他プラントの伝熱管下部から実機スケールを採取し、断面ミクロ観察を実施した結果は下表のとおりであり、鉄の持込み量が大きいプラントほどスケールの稠密層（空隙率5%以下）は厚く成長していることを確認した。

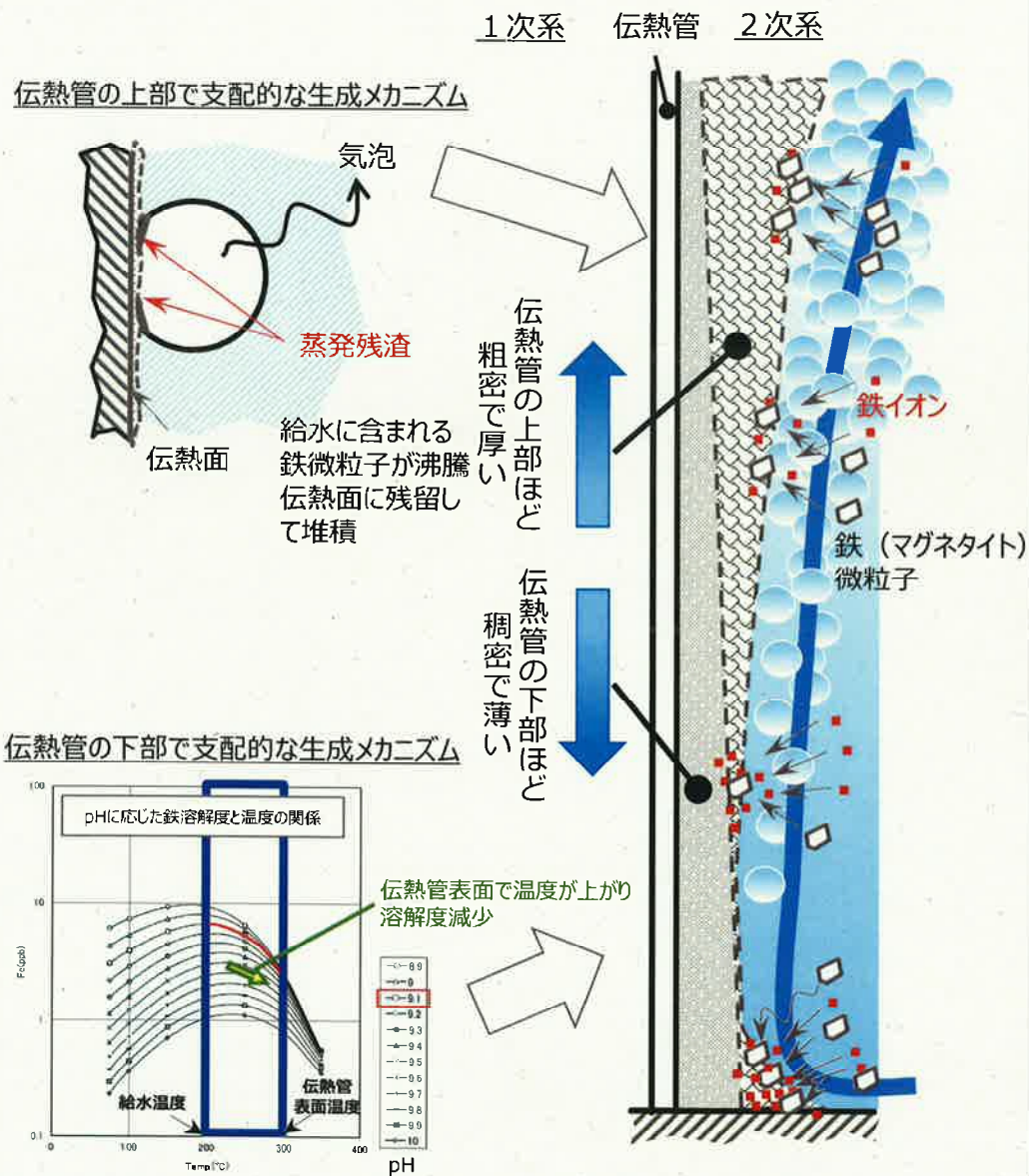
回収場所	高浜4号機 鉄持込み量： 2,490kg	大飯4号機 鉄持込み量： 1,950kg	高浜2号機 鉄持込み量： 940kg	備考
第二管支持板 ～ 管板間	空隙率5%以下の 稠密層厚さ： 最大0.18mm	空隙率5%以下の 稠密層厚さ： 最大0.04mm	空隙率5%以下の 稠密層厚さ： - mm (伝熱管へのスケール付着がごく軽微で あり、採取できるほどの厚みなし)	稠密層厚さは 鉄の持込み量と相関
	高浜3号機も同等 (以下の写真の通り)	大飯3号機も同等であるが、薬品洗 浄回数の少ない大飯4号機を選定	SG取替プラントの中では最も鉄の 持込みが大きい高浜2号機を選定	



大飯発電所4号機では第16回定期検査に薬品洗浄を適用していることから、大飯発電所4号機のスケールでは薬品洗浄1回分の粗密化効果の影響もあるものと推定される。

4. 推定原因 (1 / 2)

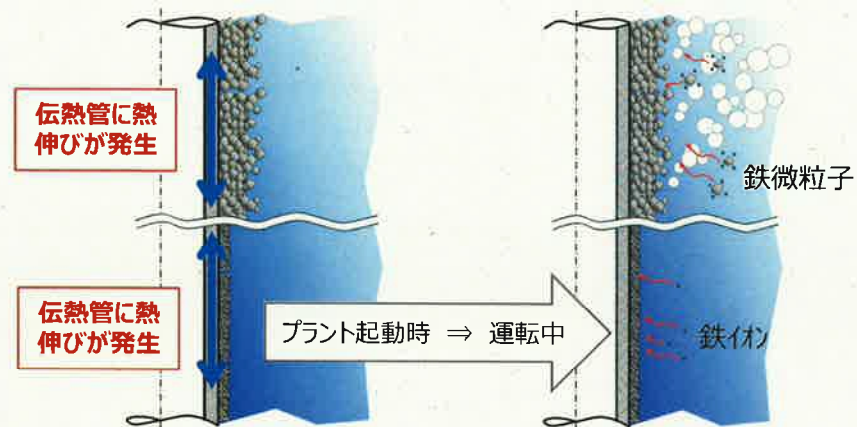
① プラント運転中に給水とともに持ち込まれる鉄イオンおよび鉄微粒子が、析出付着、蒸発残渣として伝熱管表面にスケールが生成される。



② 生成されたスケールは、プラントの起動停止による熱伸びおよび収縮により剥離する。

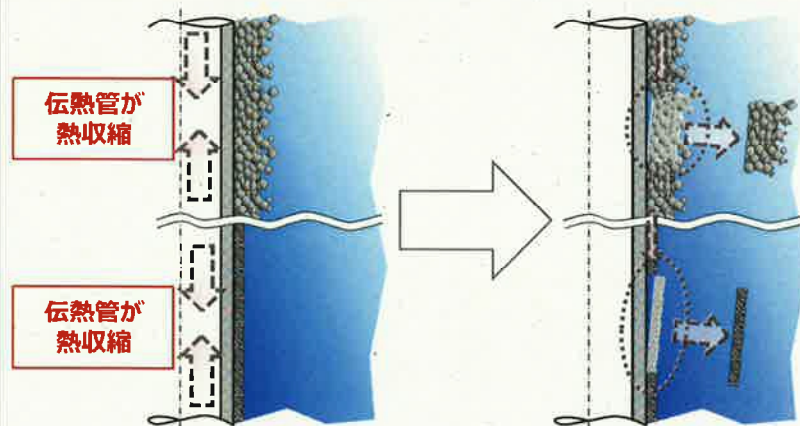
【プラント起動からプラント運転中】

- プラント起動に伴う伝熱管の熱伸びにより伝熱管表面に密着しているスケールに引張力が働き、割れが発生。
- プラント運転中の給水に含まれる鉄イオンおよび鉄微粒子が割れた箇所へ供給され、割れが一部修復。

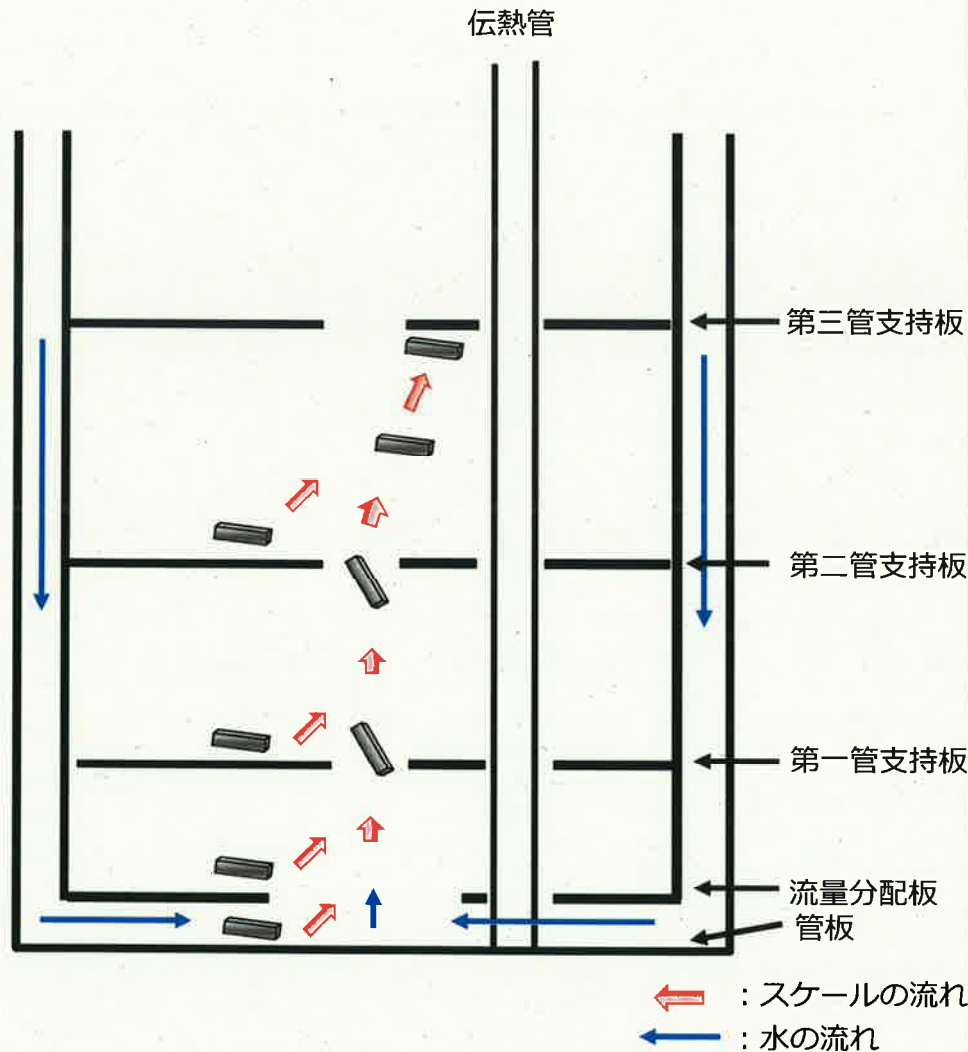


【プラント停止時】

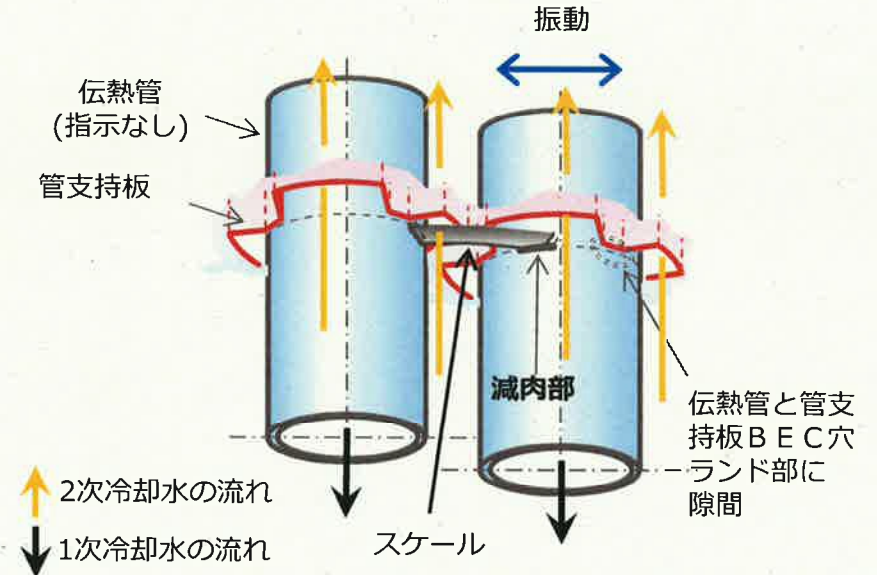
- プラント停止に伴う伝熱管の熱収縮により伝熱管表面のスケールに圧縮力が作用し、界面の密着が弱い箇所で剥離が発生。



③停止時に剥離したスケールは、プラント起動・運転時の管群上昇流および水平方向流に乗って第三管支持板下面に達し、伝熱管と接触した。



④剥離したスケールの内、AおよびC-S Gで回収した稠密な性状をもつスケールが、伝熱管と接触し、運転中に生じる伝熱管の振動によって、伝熱管外表面を摩耗させ、伝熱管外面にきずをつけた。



減肉メカニズム概要

稠密な性状のスケールを脆弱化させるための対策として、大飯発電所3号機および4号機においても実績のある薬品洗浄について、洗浄試験により有効性の検証を行った。

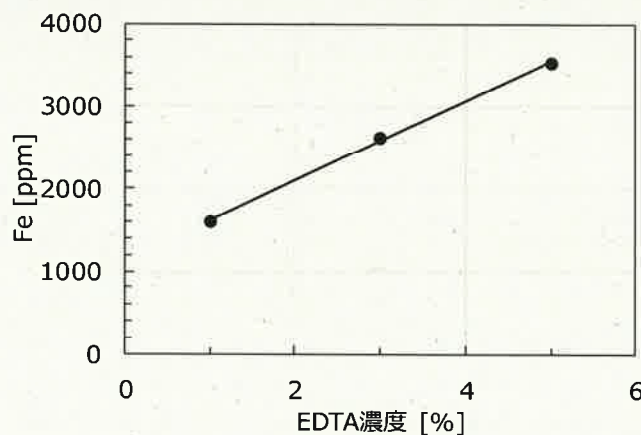
<洗浄試験>

スケールの薬品浸漬試験を行い、稠密層厚さの減少効果を確認するとともに、伝熱管との摩耗試験により脆弱化効果を確認した。

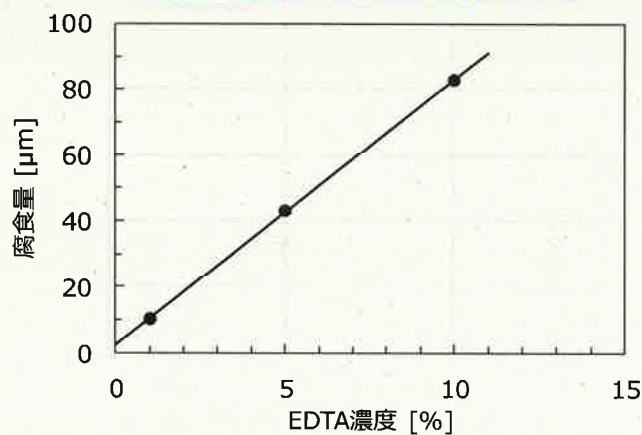
○浸漬試験条件の設定

①薬品濃度

- ・薬品濃度に比例して鉄の溶解量は増加するため、スケール脆弱化の観点では濃度が高いほどよい。
 - ・薬品濃度に比例して炭素鋼（SG器内構造物の主な構成材料）の腐食量も増加。
- ⇒腐食影響を最小限に抑える観点で、国内実績で最大の3%以下とし、浸漬試験では2%～3%を適用。



薬品濃度と鉄溶解量の関係



薬品濃度と炭素鋼腐食量の関係

②洗浄温度

- ・温度が高いほどスケール中へのEDTA*の浸入および鉄との反応は進むため、基本の80℃よりも高温側に設定。

※：希薄なエチレンジアミン四酢酸。合成洗剤に使用される酸の一種で鉄、銅の溶解を促進する効果を持つ薬液。

- ・ただし、実機適用時にSG器内の薬品濃度を均一にすることおよび作業安全の観点から、沸騰しない温度とする。

⇒100℃を適用。（水の蒸気圧約0.1MPaに対し、洗浄中のSG器内圧は攪拌用窒素の注入・加圧に伴い0.15MPa）

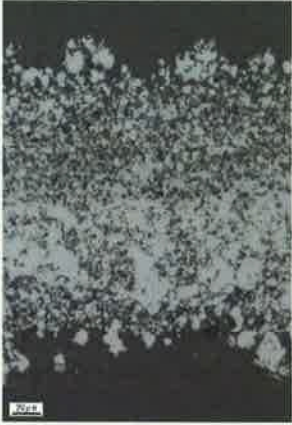
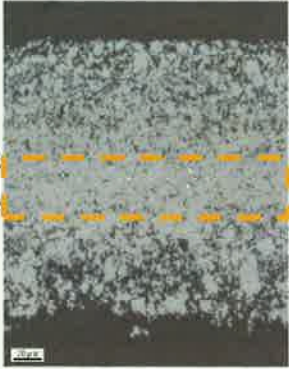
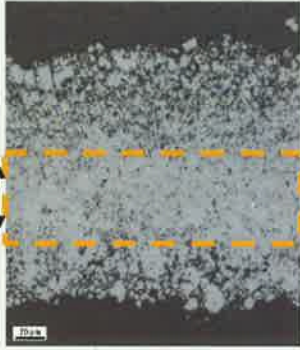
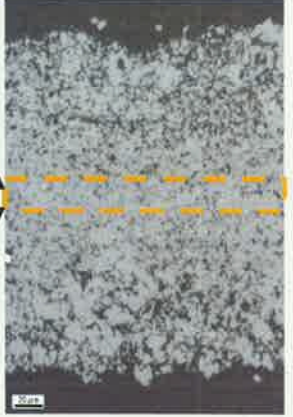
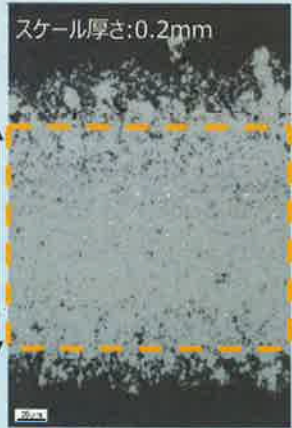
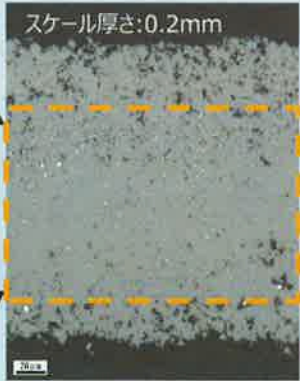

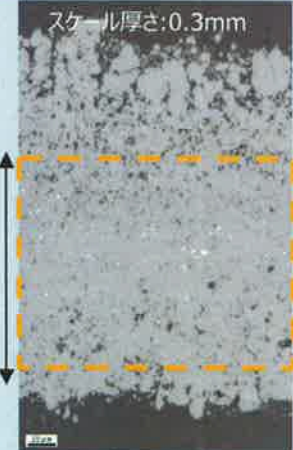
5. 対策検討 (洗浄試験 2/3)

<洗浄試験 (続き)>

○浸漬試験の結果

高浜発電所 4号機採取スケールで浸漬試験を行った結果、稠密層厚さが大きく減少していることを確認した。

浸漬試験結果

ケース	1	2	3	4
薬品濃度・温度*	2%・100℃	同左	同左	3%・100℃
試験後	 <p>稠密層厚さ: 0mm</p>	 <p>稠密層厚さ: 0.04mm</p>	 <p>稠密層厚さ: 0.06mm</p>	 <p>稠密層厚さ: 0.02mm</p>
試験前	 <p>スケール厚さ: 0.2mm 稠密層厚さ: 0.14mm</p>	 <p>スケール厚さ: 0.2mm 稠密層厚さ: 0.12mm</p>	 <p>スケール厚さ: 0.2mm 稠密層厚さ: 0.14mm</p>	 <p>スケール厚さ: 0.3mm 稠密層厚さ: 0.14mm</p>

*薬品濃度・温度以外の試験条件はこれまでの国内施工実績と同等 (浸漬時間は2-4時間、アンモニア及びヒドラジンによるアルカリ環境、還元性雰囲気)

<洗浄試験 (続き)>

○摩耗試験の結果

浸漬試験後のスケールで伝熱管との摩耗試験を行った結果、いずれも試験中に欠損またはスケールの摩滅量が大きく増加したため、十分な脆弱化効果が得られたことを確認した。

摩耗試験結果一覧

ケース	薬品濃度・温度※1	試験前後	稠密層厚さ※2 (mm)	摩耗体積比 (伝熱管：スケール)	試験時間 (hr)
1	2%・100℃	前	0.14	1 : 100	約49
		後	0	試験開始直後に欠損	—
2	同上	前	0.12	1 : 2	約99
		後	0.04	1 : 27	約35
3	同上	前	0.14	1 : 0.6	約99
		後	0.06	試験中に欠損	約1
4	3%・100℃	前	0.14	1 : 0.6	約90
		後	0.02	試験中に欠損	約6

※1 薬品濃度・温度以外の試験条件はこれまでの国内施工実績と同等 (浸漬時間は24時間、アンモニアおよびヒドラジンによるアルカリ環境、還元性雰囲気)

※2 空隙率5%以下

以上より、スケールに起因した伝熱管減肉事象の対策として有効性を確認した。

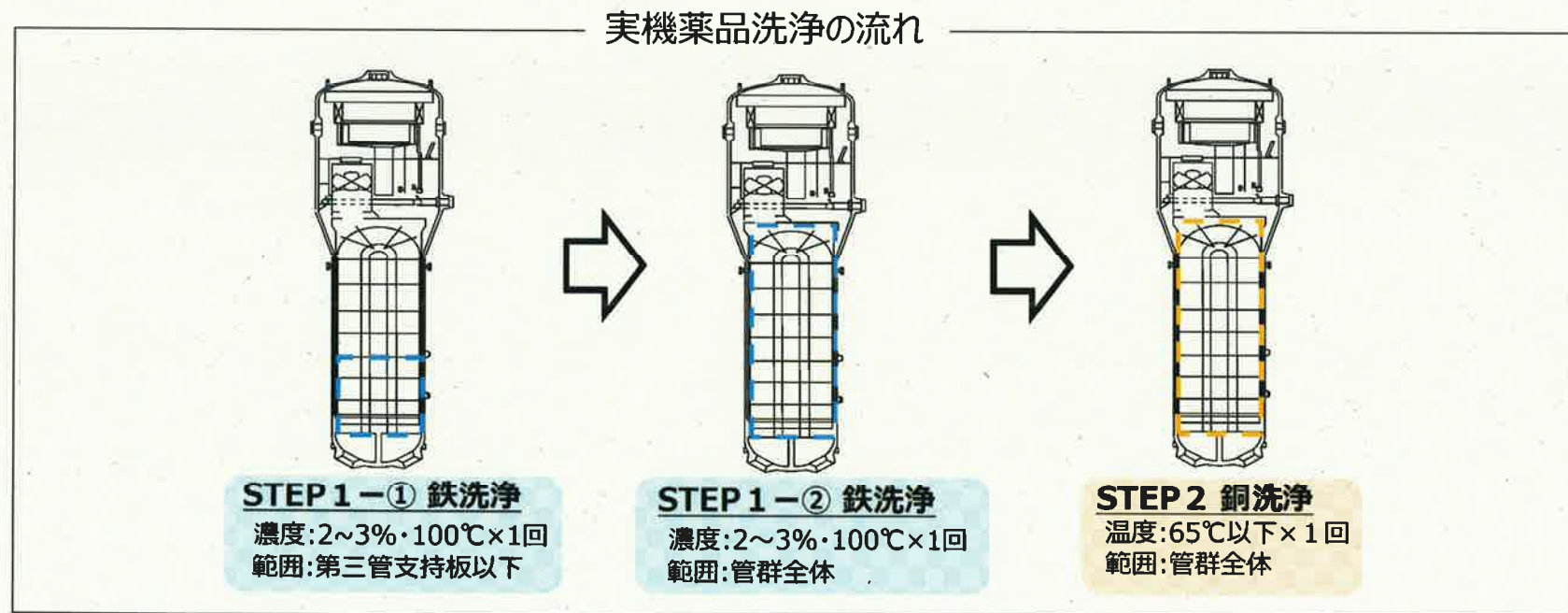
<実機洗浄方法>

○洗浄条件

洗浄試験の結果から、実機洗浄条件については、薬品濃度は2%～3%、洗浄温度は100℃とする。なお、その他洗浄に係る諸条件は、これまでの国内施工実績と同様とする。

○洗浄範囲

洗浄範囲については、管群全体を対象とする。なお、今後のプラント運転に更なる万全を期すため、スケールの生成メカニズムから下部ほど稠密で薄く、上部ほど粗密で厚いことが分かっていることから、第三管支持板以下については、更に1回追加洗浄を行うこととする。

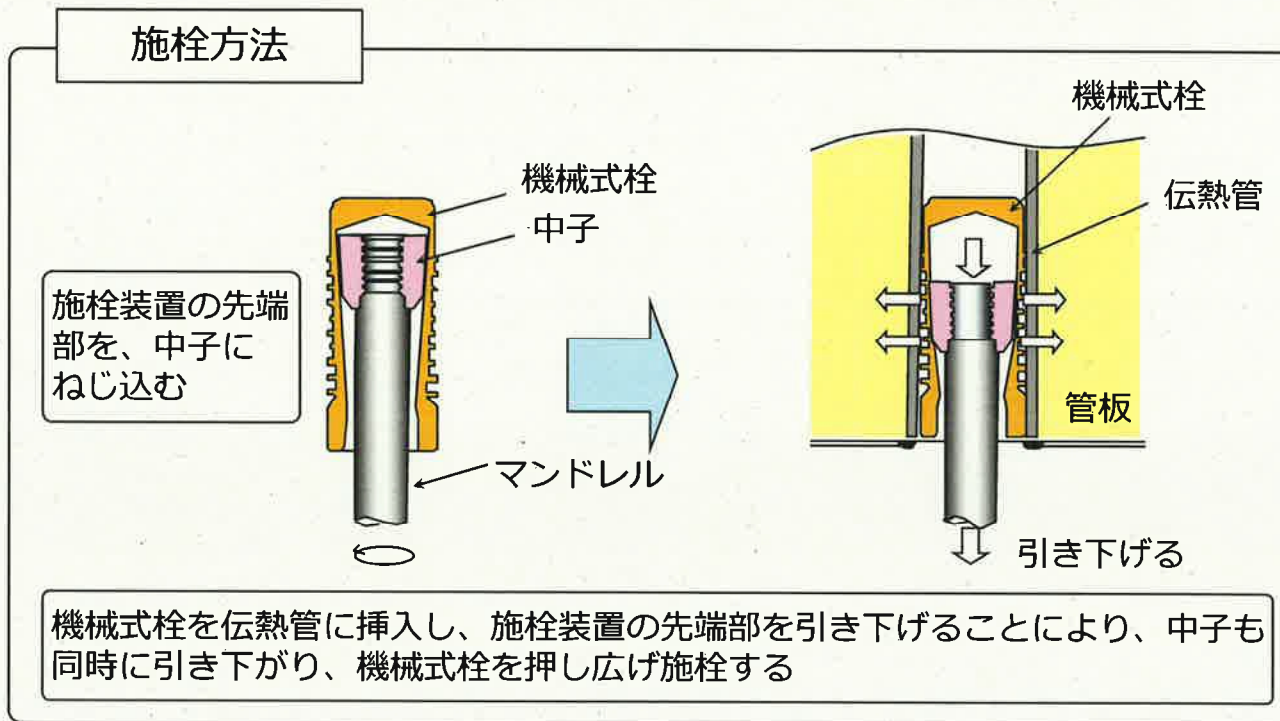
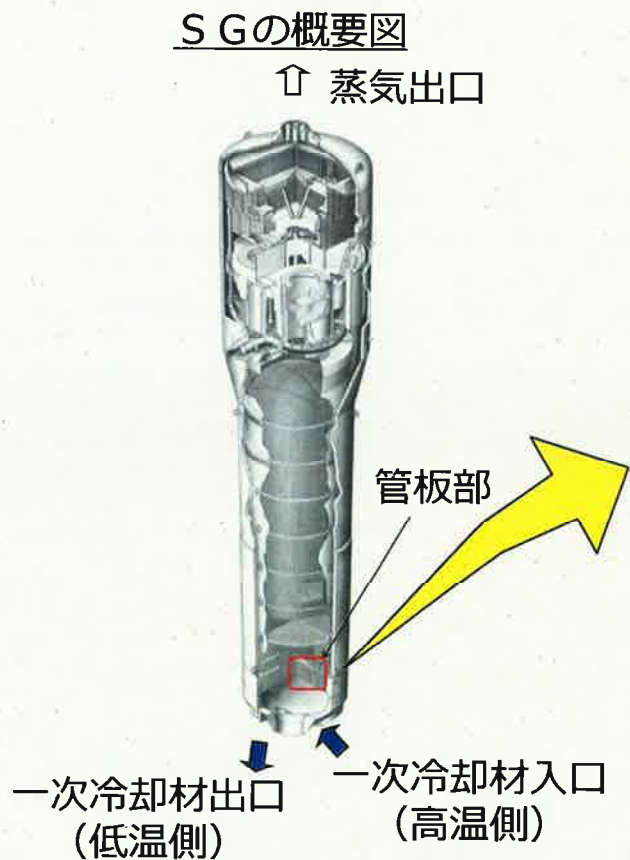


<実機によるスケール脆弱化効果の確認>

高浜発電所4号機での対策実施に先立ち、同程度のスケールが蓄積していると考えられる高浜発電所3号機において薬品洗浄を実施後にスケールを回収し、スケールが脆弱化されていることを確認する。

○伝熱管の施栓（従前からの対応）

減肉が認められたS G伝熱管について、高温側および低温側のS G管板部で施栓し、供用外とする。



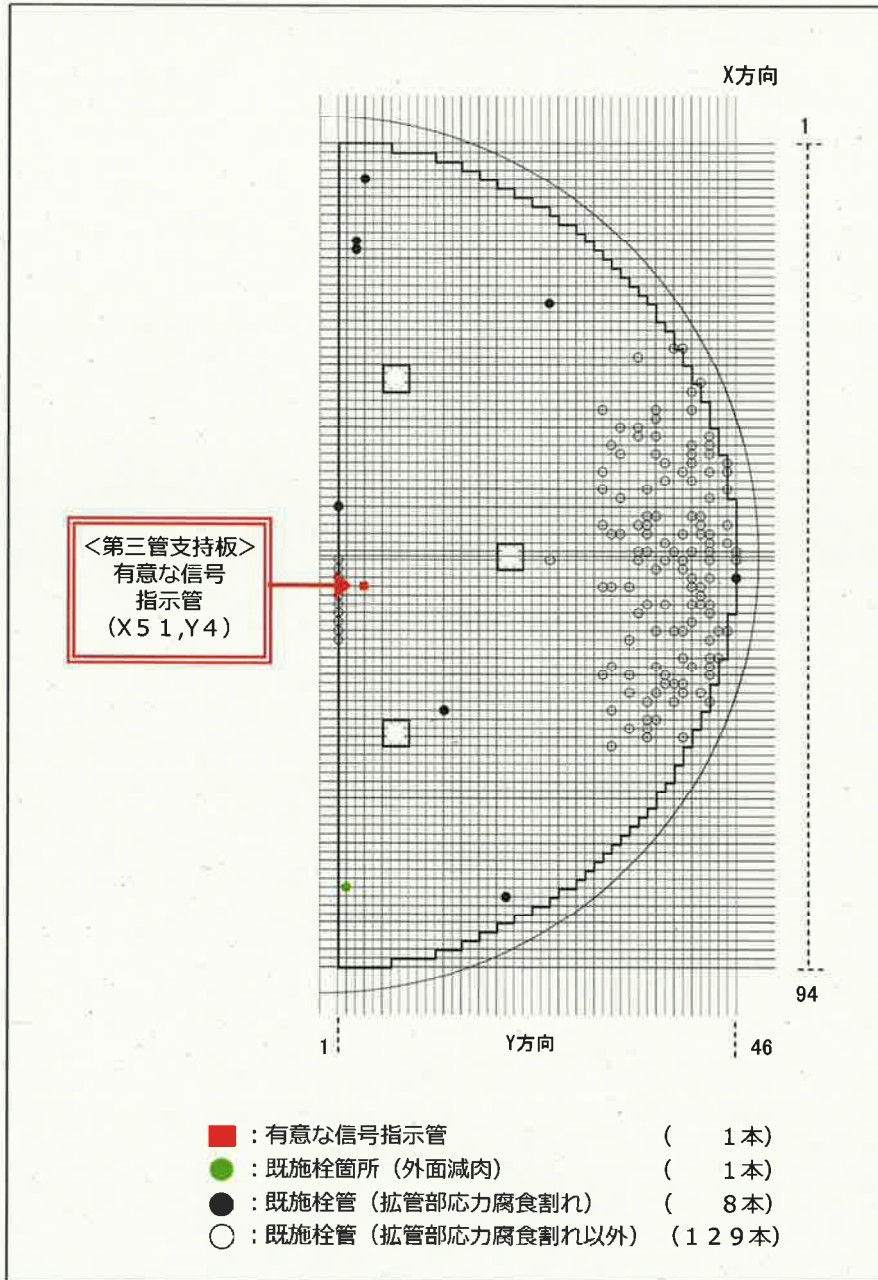
	A-SG (3,382本)	B-SG (3,382本)	C-SG (3,382本)	合計 (10,146本)
今回施栓本数	1	0	3	4
累積施栓本数 [施栓率]	139 [4.1%]	135 [4.0%]	129 [3.8%]	403 [4.0%]

○薬品洗浄による稠密性状スケールの脆弱化 → 59 ~ 62

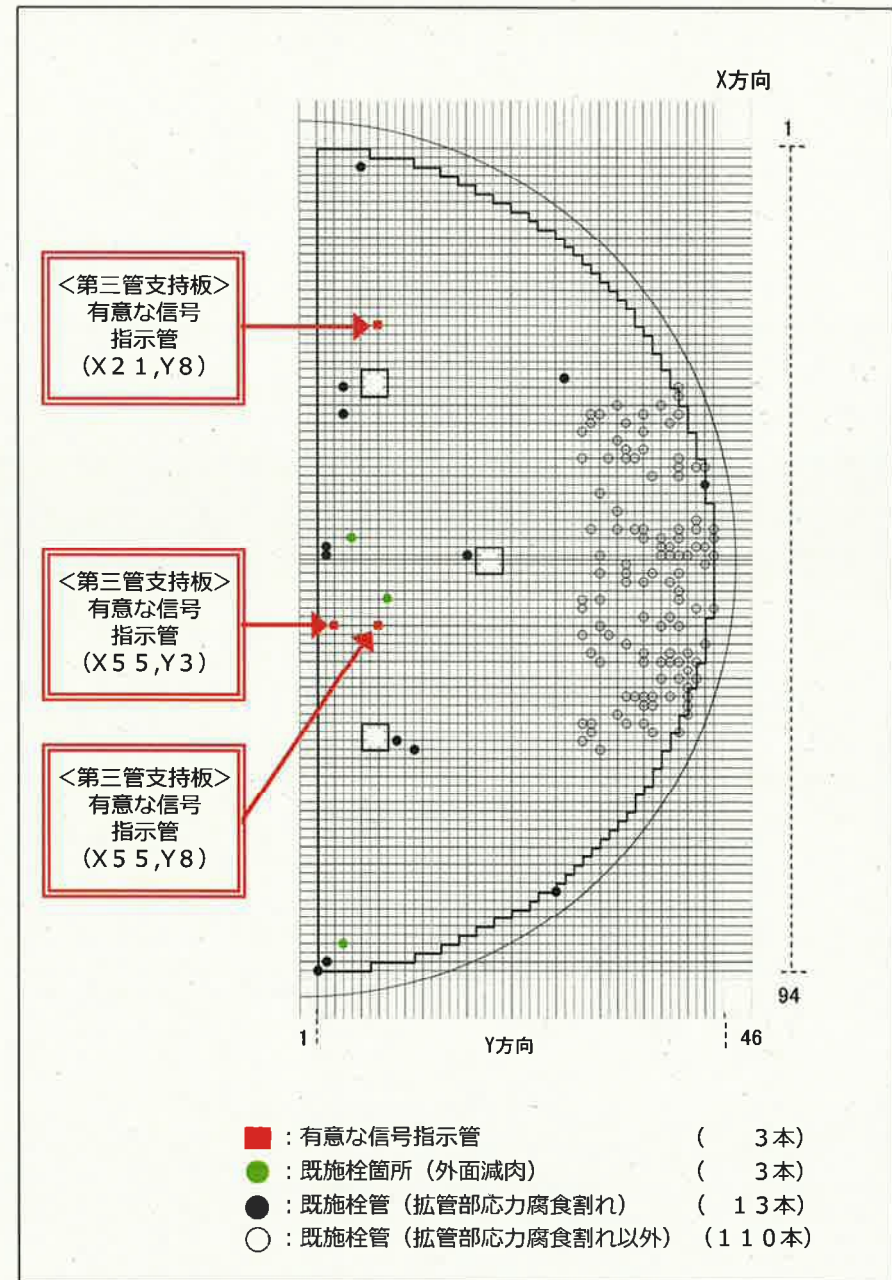
- S G器内に薬液を注入し、伝熱管全体を浸すことにより、伝熱管に付着している稠密な性状のスケールを粗密化させ、脆弱化させる。
- 高浜発電所4号機次回（第24回）定期検査において、スケールの性状を確認し、今後の保全計画に反映する。

參考資料

A - S G (低温側) の状況



C - S G (低温側) の状況

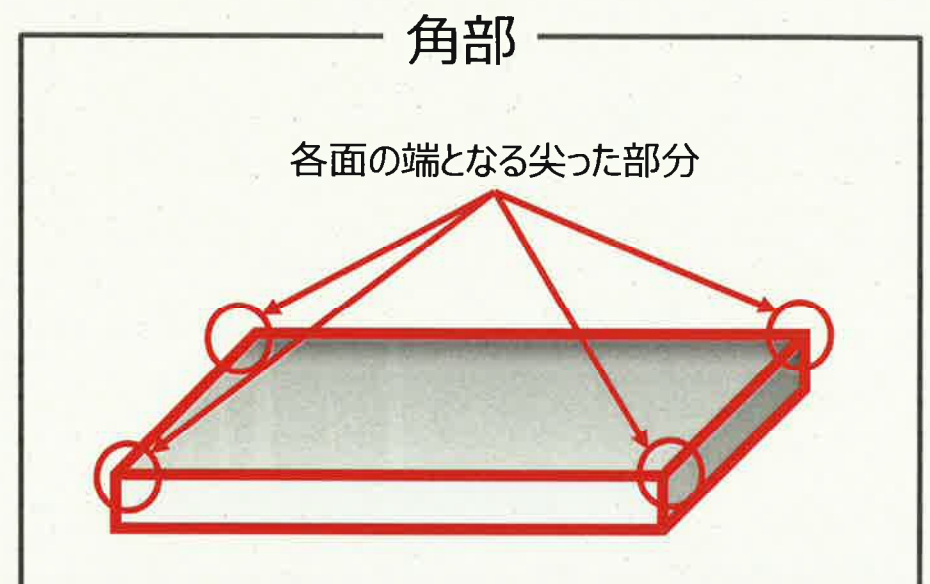
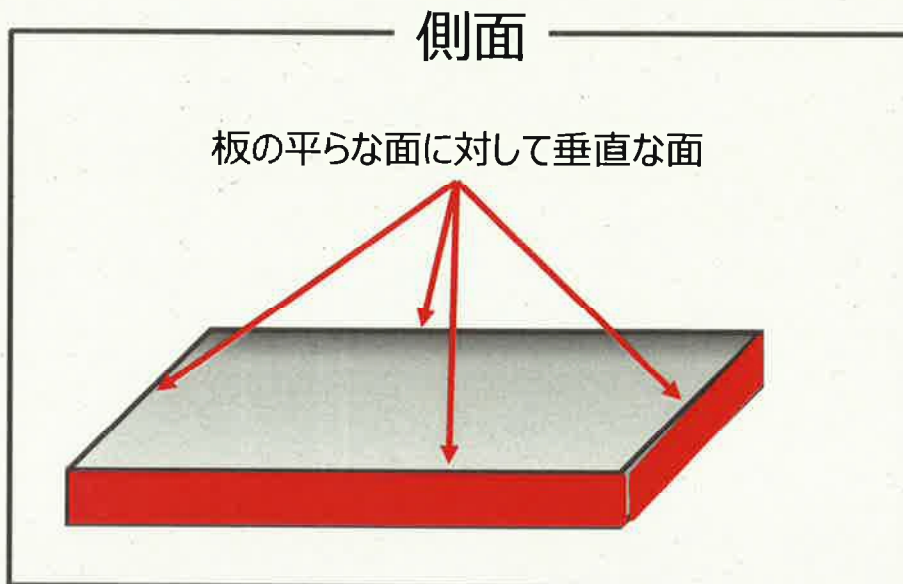
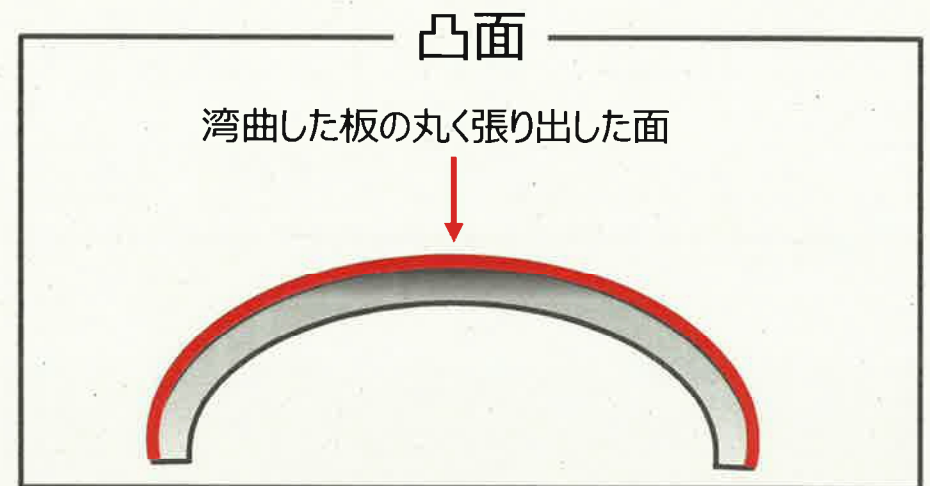


参考資料：要因分析図（F T図）

要因		調査項目	評価			
減肉指示	1次側からの損傷	ECT番号	ECTの番号指示により、伝熱管内面(1次側)にきずがないことを確認した。	×	添付資料-5	
		デンティング	ECTの番号指示を確認した結果、デンティングではないと考えられる。*	×	添付資料-5	
		粗界面食割れ (IGA)	過去にSG2次側環境においてアルカリ環境と酸化剤等による酸化性雰囲気を経験したプラントで、粗界面食割れが発生した実績があるが、高圧発電所3号機のようなアンモニアとヒドラジンによるAVT処理を実施し、良好な還元性雰囲気が維持されているプラントでは発生していないことから、発生の可能性はないと考えられる。また、小型カメラによる目視点検結果から機械的な影響によるものと考えられる減肉であることから、粗界面食割れの可能性はないと考えられる。*	×	添付資料-6	
	2次側からの損傷	ピッチティング	使用環境	過去にSG2次側環境において海水リーク等による塩化物環境と酸化剤等による酸化性雰囲気を経験したプラントで、ピッチティングが発生した実績があるが、高圧発電所3号機のような塩素濃度が低いことから、発生の可能性はないと考えられる。また、小型カメラによる目視点検結果から機械的な影響によるものと考えられる減肉であることから、ピッチティングの可能性はないと考えられる。*	×	添付資料-7
		リン酸減肉	使用環境	過去の2次系水処理において、リン酸を使用したプラントでリン酸による減肉が発生した実績があるが、高圧発電所3号機のようなアンモニアとヒドラジンによるAVT処理を実施しているプラントでは発生していないことから、発生の可能性はないと考えられる。また、小型カメラによる目視点検結果から機械的な影響によるものと考えられる減肉であることから、リン酸減肉の可能性はないと考えられる。*	×	添付資料-8
		流体振動による疲労	設計評価	管支持板部の流れによる伝熱管の管支持板部の応力は、疲労限に比べ非常に小さく、疲労損傷は発生しないと考えられる。*	×	添付資料-9
		エロージョン	設計評価	当該部流速は約3m/sであり、かつ、11600番は耐エロージョン性が高いことから(至悪条件では約70m/s以上がエロージョン発生領域)、エロージョンの発生はないと考えられる。*	×	添付資料-10
		管支持板との接触	設計評価	管支持板より厚肉減肉が発生したのであれば、4箇所の管支持板ランド部に減肉が生じることになるが、目視点検の結果からは4か所の管支持板ランド部の減肉は確認できなかったため、管支持板との接触・摩擦によって発生した減肉ではないと考えられる。	×	添付資料-11
		SG器外進入物との接触	過去の点検調査	前回(第2回)の定期検査において、機器内部へ立ち入る作業では直前に作業服の着替えや靴カバーを着用することや直接目視にて異物確認ができない範囲はファイバー_SCOPEを用いた確認を実施する等の異物混入対策を実施しており、SG器内に異物が混入している可能性は低い。また、SG器内に異物が混入していないことを確認するためSG器内の水張り、窓枠閉鎖(パブリック)および水抜きを実施した結果、異物が回収されなかったことから、SG器内に異物が混入している可能性は低い。	×	添付資料-12
		厚肉減肉	SG器内点検 (目視点検)	AおよびC-SGの減肉番号を確認した伝熱管について、小型カメラによる目視点検を実施した結果、機械的な影響によるものと考えられる減肉を確認した。A-SGで減肉番号を確認した伝熱管3本を小型カメラにて目視点検を実施した結果、きずは接触する幅約15mm、長さ約9mmの付着物を確認し回収した。C-SGで減肉番号を確認した伝熱管3本を小型カメラにて目視点検を実施した結果、うち1本の伝熱管(X55、Y3)と第三管支持板の間に付着物を確認したことから回収を試みた。その結果、付着物が折れたため一部の回収はできず、残りの付着物については、粉砕し、回収できなかった。その他、SG器内の管板等を小型カメラによる目視点検を実施した結果、伝熱管から剥離したスケールおよびスラッジ以外の異物は確認できなかった。	×	添付資料-13 添付資料-16
SG器内点検 (スラッジランニング)	AおよびC-SGのスラッジランニングを実施し、異物の有無を確認した結果、スケールおよびスラッジ以外に異物は確認できなかった。		×	添付資料-13		
SG器外点検 (目視点検)	SGブローダウン系統である系外ブローライン(海水放出ライン)、復水器回収ラインおよび弁等について異物が残存していないかについて調査した結果、SG2次側のスラッジランニング等で回収されるスラッジと同様のスラッジや2次系配管の内面から発生したと考えられるスケールが、異物は確認できなかった。また、高圧発電所3号機前回(第2回)定期検査でのSG伝熱管層間調査を除き、外部からの異物混入の可能性は否定できないことから、窓のため、SGに異物が混入する可能性のある系統で実施している全ての開閉取換等の対象範囲について機器の健全性並びに異物管理状況を調査した結果、異物混入の可能性はないことを確認した。		×	添付資料-14		
SG器内進入物との接触	内部品が脱落して接触	設計評価	今回の減肉を生じさせた可能性のある異物の想定形状(薄片)に対して、SG内部品で該当する形状があるかを容器断面図により確認したところ、振止め金具の一部平座板等内部品として使用されていることを確認した。ただし、これらの内部品は、消接止めされていること、もしくは、周囲を消接止めされた構造で囲まれており、万一、脱落したとしても周囲の構造物の外には出ないことから、内部品が脱落した可能性はないと考えられる。	×	添付資料-15	
		SG器内点検 (目視点検)	AおよびC-SGの減肉番号を確認した伝熱管について、小型カメラによる目視点検を実施した結果、機械的な影響によるものと考えられる減肉を確認した。A-SGで減肉番号を確認した伝熱管3本を小型カメラにて目視点検を実施した結果、きずは接触する幅約15mm、長さ約9mmの付着物を確認し回収した。C-SGで減肉番号を確認した伝熱管3本を小型カメラにて目視点検を実施した結果、うち1本の伝熱管(X55、Y3)と第三管支持板の間に付着物を確認したことから回収を試みた。その結果、付着物が折れたため一部の回収はできず、残りの付着物については、粉砕し、回収できなかった。その他、SG器内の管板等を小型カメラによる目視点検を実施した結果、伝熱管から剥離したスケールおよびスラッジ以外の異物は確認できなかった。	○	添付資料-13 添付資料-16	
		SG器内点検 (スラッジランニング)	AおよびC-SGのスラッジランニングを実施し、異物の有無を確認した結果、スケールおよびスラッジ以外に異物は確認できなかったことから、内部品が脱落した可能性はないと考えられる。	×	添付資料-13	
ECT探傷	損傷以外の番号	局所的な異物等の付着・剥離	ECT番号	局所的なスケールの剥離は、減肉と識別できることから、今回の番号指示は、スケールの剥離ではないと考えられる。	×	添付資料-10
			回収物の分析結果	C-SG伝熱管の減肉を生じさせたと考えられる異物等を発見していないことを除き、C-SGの減肉を確認した伝熱管を中心にXおよびY方向に約10割ずつを範囲として、減肉箇所下方の管および第一管支持板上にあるスケールを約300倍回収し、確認したところ、その中の三つに伝熱管と接触したと思われる厚さ約10mm、長さ約100mmのスケール(スケールC2)、幅約23mm、長さ約11mmのスケール(スケールC3)および幅約11mm、長さ約3mmのスケール(スケールC4)を確認した。スケールC2については周囲の平均厚度1.7側面に、スケールC3については周囲に3箇所の接触面を確認した。また、スケールC4については角部に接触面を確認した。それぞれの形状は、スケールC2は直径約2.2mm、スケールC3は直径約2.2mm、スケールC4は直径約2.2mmの円筒状に沿った形状であり、伝熱管の外径22.23mmに近い形状であることを確認した。成分分析については、周囲平均厚度の接触面には管支持板の成分であるCuが、また、側面の接触面には伝熱管の成分であるNiおよびCrを抽出した。スケールC2については、周囲の3箇所のうち1つである管支持板の成分であるCuが、また、残り2箇所の接触面には伝熱管の成分であるNiおよびCrを抽出した。スケールC3については、角部の接触面に伝熱管の成分であるNiおよびCrを抽出した。スケールC4の形状および腐食面を確認した側面、スケールC3の形状および腐食面を確認した2箇所の接触面、スケールC4の想定形状および腐食面を確認した角部の接触面の位置関係を、C-SGで確認した3箇所の減肉箇所のいずれかと合致するか確認したところ、スケールC2についてはX55、Y8の減肉箇所やX58、Y8周辺にある第三管支持板表面の接触面が、回収スケールの形状や接触面と位置関係が一致することを確認した。また、スケールC3についてはX21、Y8の減肉箇所並にX21、Y8周辺にある第三管支持板表面および前接管(X20、Y8)の接触面が、回収スケールの形状や接触面と位置関係が一致することを確認した。また、スケールC4についてはX35、Y3の減肉箇所並にX35、Y3周辺にある第三管支持板表面の接触面が、回収スケールの想定形状や接触面と位置関係が一致することを確認した。	○	添付資料-17 添付資料-18

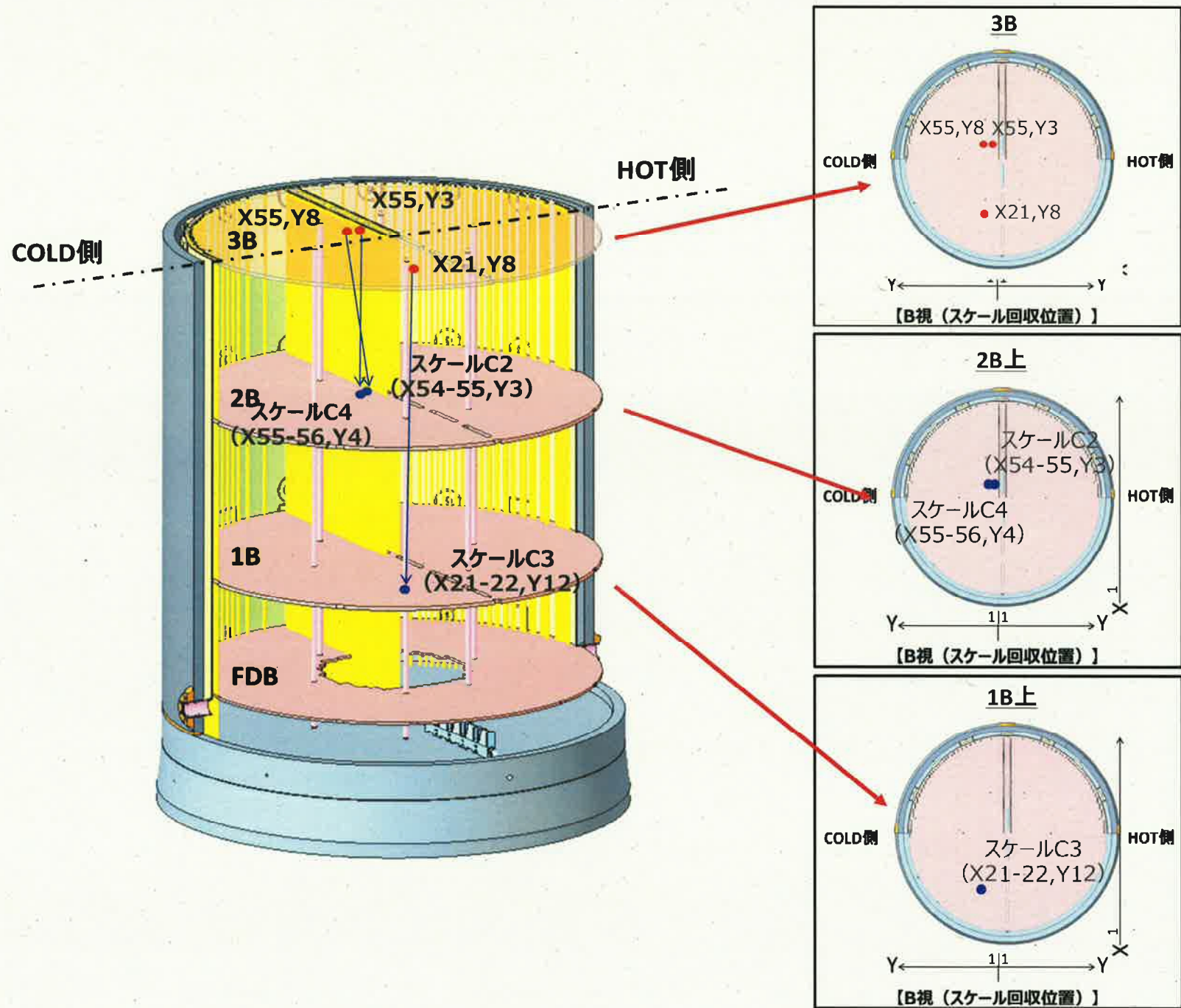
*:きずの形状からも本原因でないと判断できる。
 ○:可能性が高い。
 △:可能性は否定できない。
 ×:要因の可能性なし。

回収物の観察結果等で用いた用語については、以下のとおりであり、赤で示した部分を示す。



回収物の各部位で確認された接触痕、各種成分を整理した結果は以下のとおり。

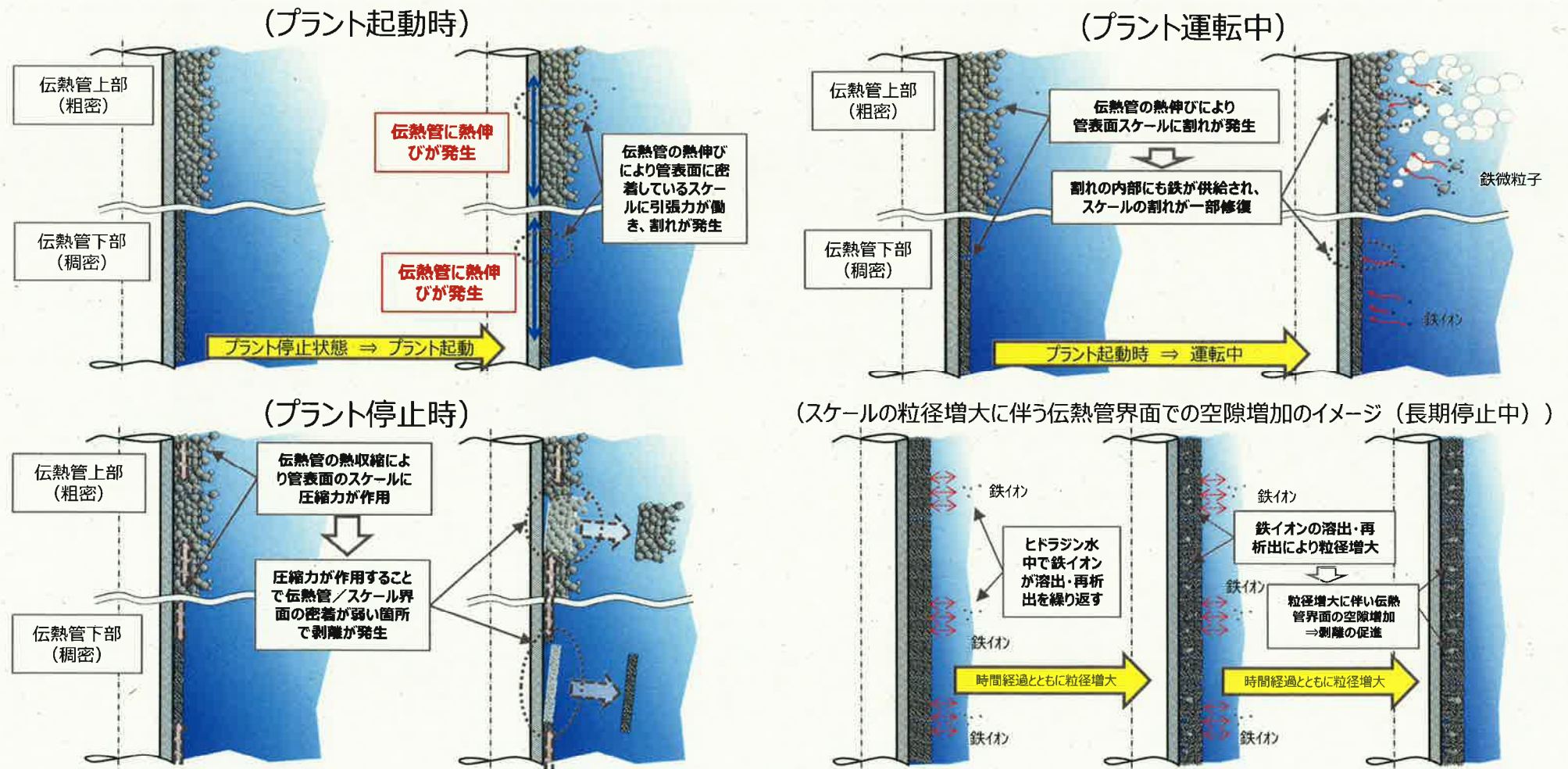
	凹面	凸面	側面	角部
スケールA	—	—	—	<ul style="list-style-type: none"> 筋状痕 光沢 Ni、Cr
スケールC1	<ul style="list-style-type: none"> 接触痕（筋状痕なし） わずかなNi 	—	—	—
スケールC2	<ul style="list-style-type: none"> 接触痕（筋状痕なし） Cr 	—	<ul style="list-style-type: none"> 筋状痕 Ni、Cr 	—
スケールC3	—	<ul style="list-style-type: none"> 接触痕③（筋状痕なし） Cr 	接触痕①筋状痕 接触痕②筋状痕 <ul style="list-style-type: none"> Ni、Cr 	—
スケールC4	—	—	—	<ul style="list-style-type: none"> 筋状痕 Ni、Cr



○スケールの剥離（剥離メカニズム）

伝熱管表面に生成したスケールが剥離するのは、起動停止時の伝熱管の熱伸びと収縮によるものと推定される。具体的には次の（a）～（c）のとおりであり、スケールはプラント停止時の伝熱管の熱収縮に追従できずにフレーク状（板状）に剥離したものと推定される。

- （a）プラント起動時の伝熱管の熱伸びに伴い伝熱管表面のスケールに割れが生じる。
- （b）プラント運転中に割れの隙間が新たに生成したスケールで埋まる。
- （c）隙間が埋まったため、プラント停止時の熱収縮に追従できずスケールは剥離する。



○スケールの剥離（長期停止の影響）

東日本大震災以降、高浜発電所4号機は2011年7月に定期検査を開始し、その後、2017年5月に再稼働するまでの約6年間、プラントは長期停止状態となっていた。その間、SG器内は腐食を防止するためヒドラジン水による満水保管状態としていたが、この状態がスケール剥離挙動に与える影響を調査するため、1か月間、スラッジ（粒の観察を容易にするため粉末状スラッジを使用）をヒドラジン水による浸漬試験を実施した。その結果、時間の経過とともにスケールを構成する鉄粒子同士が合わさり粒径が大きくなることを確認することができた。これは、ヒドラジンの還元作用でスケールの鉄が一部溶解、再析出を繰り返しており、その結果、粒径が大きくなる。

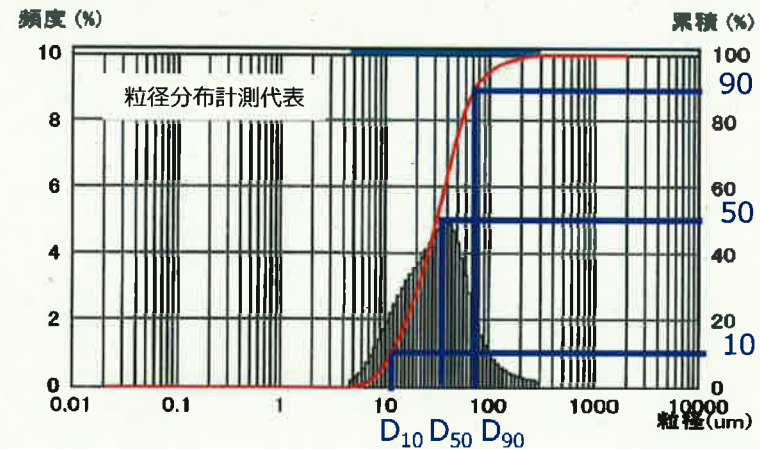
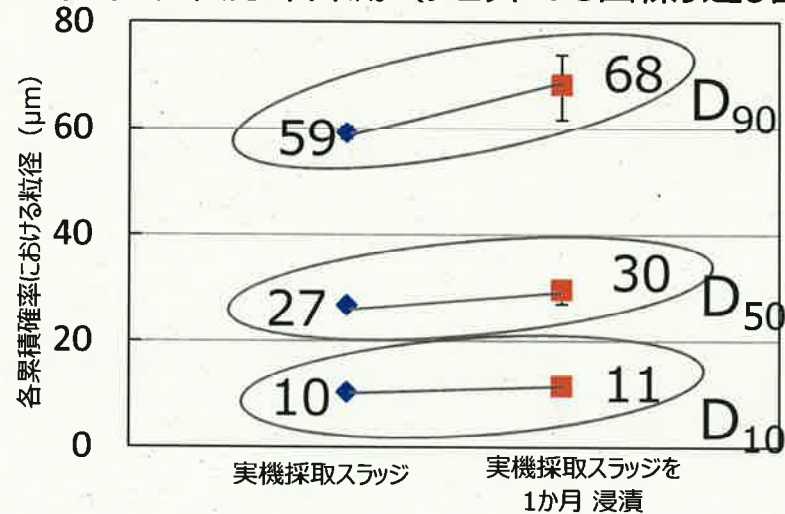
粒径が大きくなると、伝熱管との接触面積が減少し、剥離が促進される可能性がある。スケールの剥離量が増えるとスラッジランニングでのスケール回収量が大きくなる可能性があるため、高浜発電所4号機の長期停止前後の実績を調査した結果、スケール回収量は長期停止後に増加している傾向が認められた。以上により、長期停止後に伴い、スケールの粒径が大きくなることで伝熱管との接触面積が減少し、プラントの運転等に伴い伝熱管からスケールが多数剥離したと推定した。

（ヒドラジン水浸漬試験結果）

（1）SEM観察

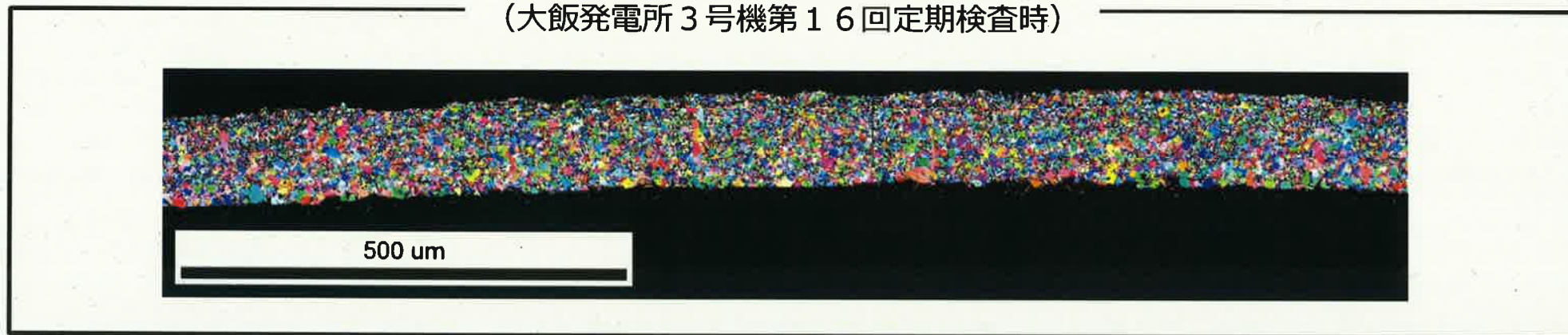


（2）粒径分布計測（プロット：3回繰り返し計測平均値，エラーバー：3回計測の最大値，最小値）



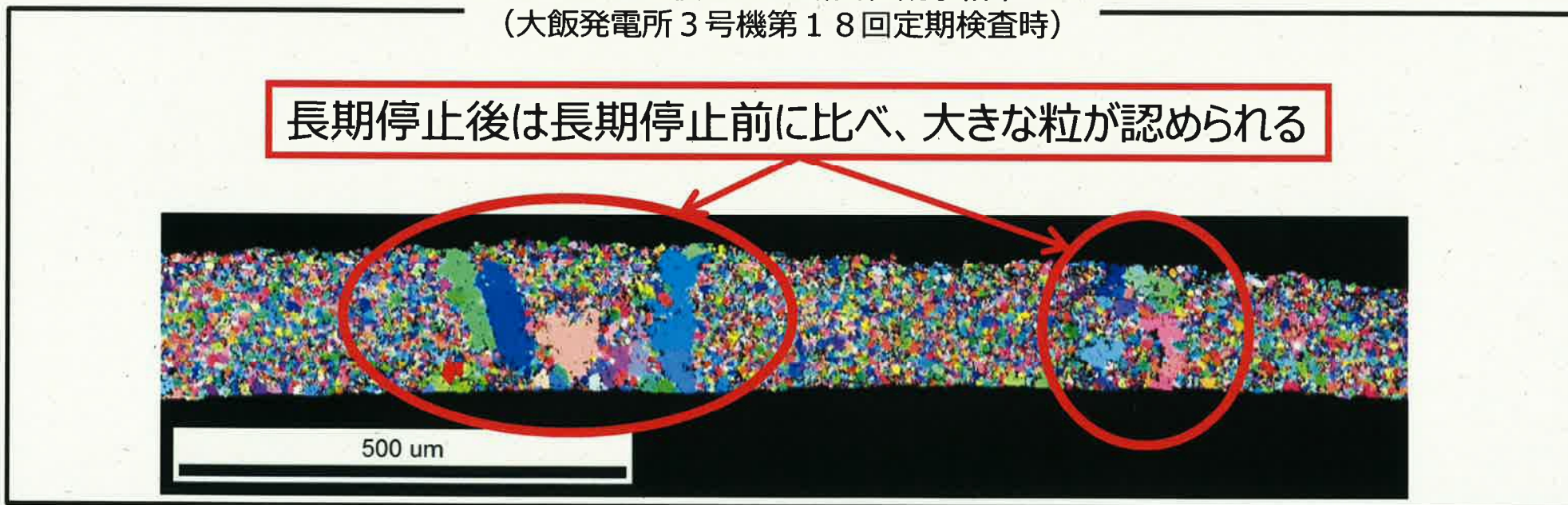
電子線後方散乱回析法 (EBSD) ※により、長期停止前後のスケール断面を観察した結果は以下のとおりである。

長期停止前スケール断面粒観察結果
(大飯発電所3号機第16回定期検査時)



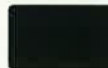
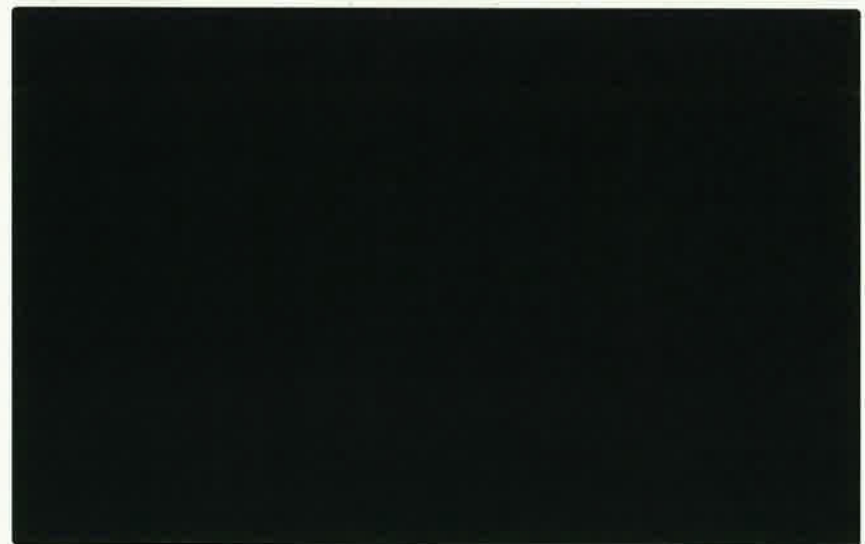
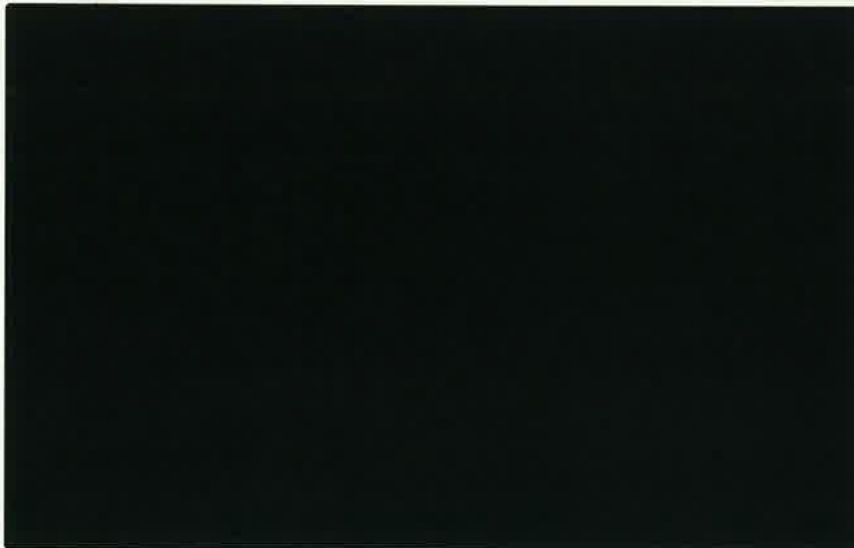
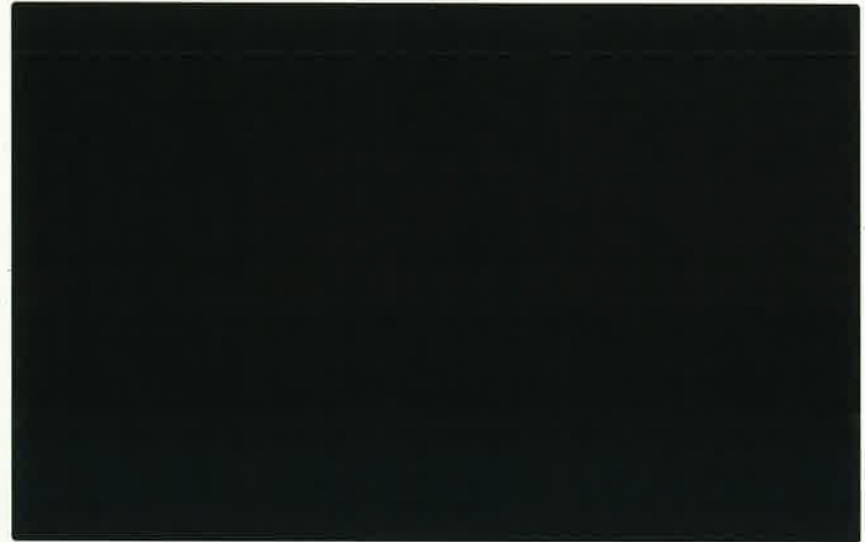
長期停止後スケール断面粒観察結果
(大飯発電所3号機第18回定期検査時)

長期停止後は長期停止前に比べ、大きな粒が認められる



※：結晶粒サイズ等の情報を取得できる分析手法であり、結晶面が向いている方向によって、異なる色で示すことで、同色の一塊が結晶粒であると識別することができる。

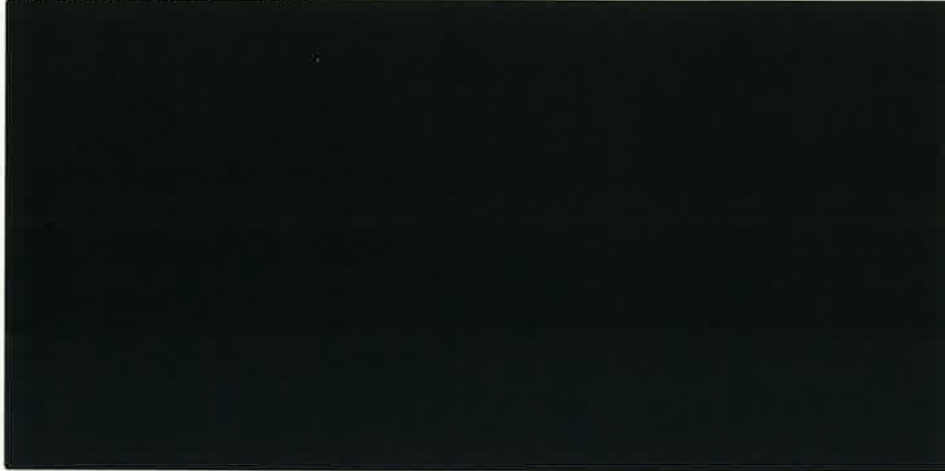
- SG伝熱管表面のスケール成長に伴って伝熱性能が低下し、主蒸気圧力が低下する。高浜発電所3および4号機はガバナ弁全開圧力（VWO圧力）まで主蒸気圧力が低下しても、夏季に定格電気出力以下となるまで余裕があるが、大飯発電所3および4号機には余裕が無いため、当社では大飯発電所3および4号機で先行してSGの薬品洗浄を実施している。



○SG熱抵抗係数（SG汚れ係数）の設計値は、2ループ、3ループ、4ループと設計が新しくなる過程で既設プラントの実績を反映して緻密化されてきた。このため、高浜発電所3および4号機と大飯発電所3および4号機では設計SG熱抵抗係数が異なる。

<高浜発電所3号機>

SG熱抵抗係数



<大飯発電所3号機>

- ・薬品洗浄（1回目）による回復量：約0.16[10⁻⁴h・ft²・°F/Btu]
- ・薬品洗浄（2回目）による回復量：運転再開前のため未評価

SG熱抵抗係数



<高浜発電所4号機>

SG熱抵抗係数



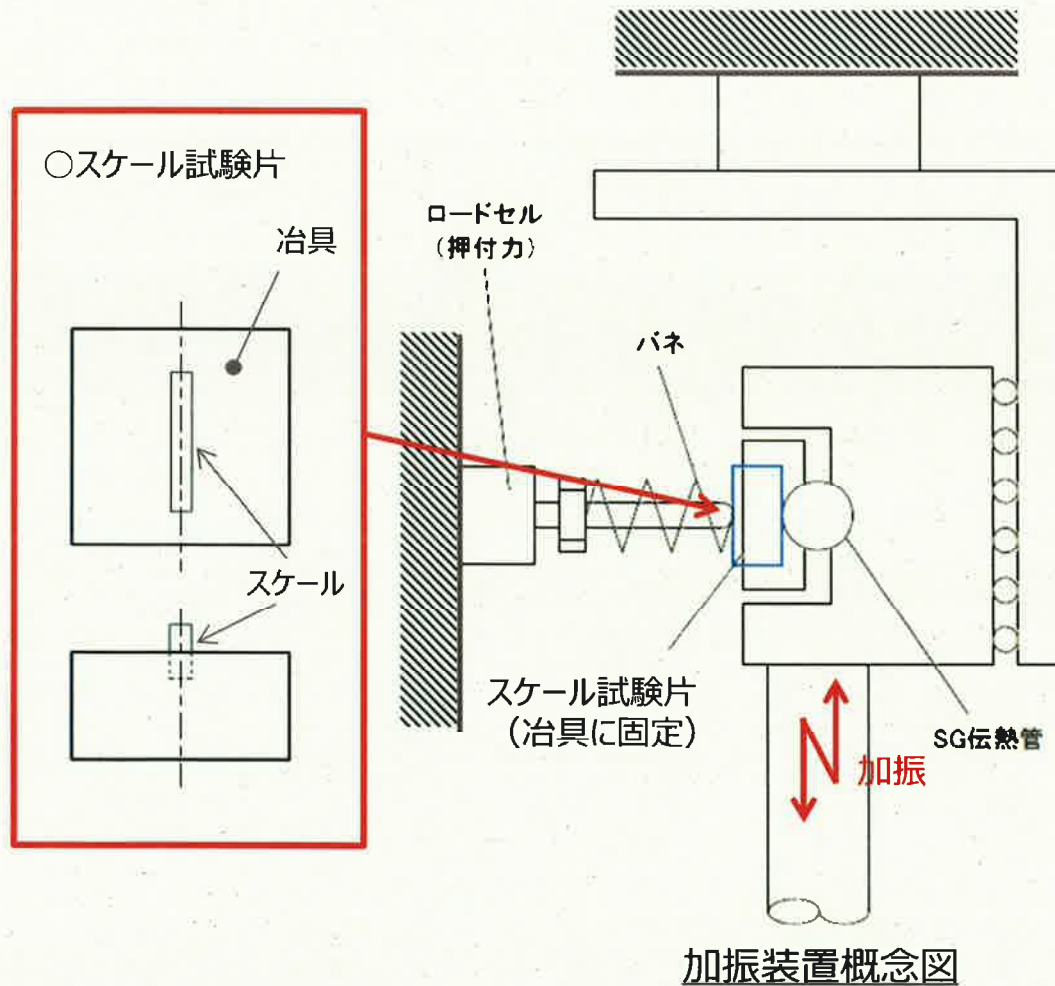
<大飯発電所4号機>

- ・薬品洗浄による回復量：約0.16[10⁻⁴h・ft²・°F/Btu]

SG熱抵抗係数



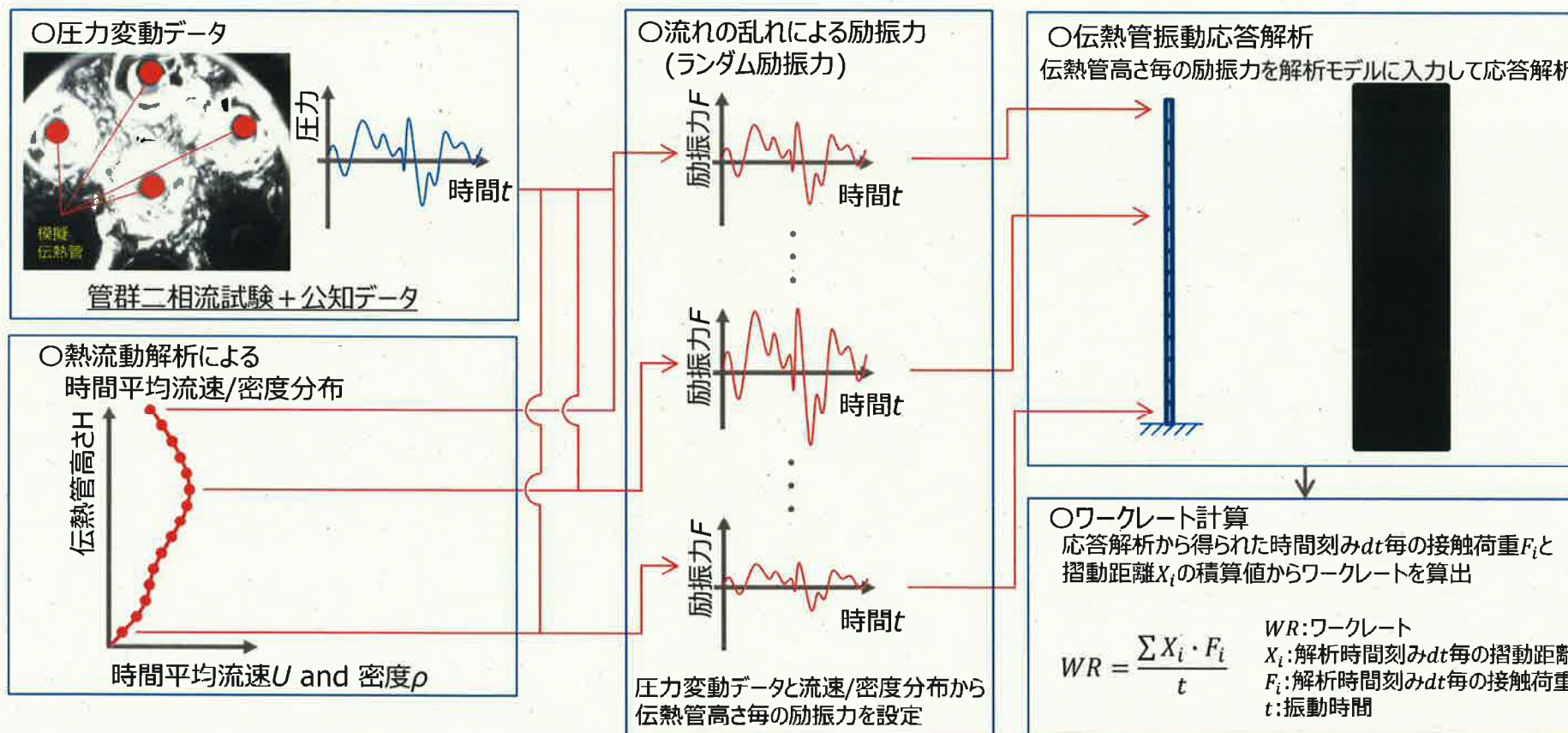
- 実機条件を模擬した流動振動解析結果から摩耗試験条件を設定
- 設定した条件を再現する加振装置を用いて摩耗試験を実施



摩耗試験条件

伝熱管摺動条件		備考
押付力	約 1 N	熱流動解析結果より設定
振動数	約 8 Hz	振動応答解析結果より設定
振幅	約 0.4 mm	B E C穴ランド部寸法より設定

- 運転中のSG二次側器内は蒸気-水二相の乱流となっているため、伝熱管は流体から次の作用を受けランダム振動する。
 - ・流れの平均流速は一定であるが、刻々と時間変動する乱れ成分があるため、ランダムな流体力が生じる。
 - ・蒸気-水二相流では、気相と液相がランダムに伝熱管に衝突する。
- ランダム振動する伝熱管にスケール（上昇流で管支持板下面に固定）が接触すると、伝熱管はスケールとの摺動で摩耗する。
- 摩耗の仕事率（ワークレート）は、以下の通り既往試験データをインプットとして解析により求めることができる。
- 本調査では、解析で得たワークレートを1サイクルの摩耗体積評価に、押付力や摺動速度等を摩耗試験条件に用いている。



■ : 枠組みの範囲は機密に係る事項ですので公開することはできません。

参考資料：廃止措置中プラントの鉄持込み量一覧

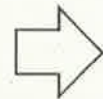
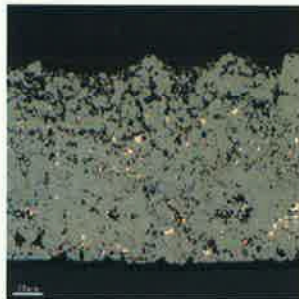
○廃止措置中プラントの鉄持込み量を調査した結果、いずれもSG取替（SGR）済みであり、累積の鉄持込み量は運転中SGRプラントで代表の高浜発電所2号機と同程度であることを確認した。

項目	【参考】高浜4号機				【参考】高浜2号機 (SGR後)			大飯1号機 (SGR後)			大飯2号機 (SGR後)			美浜1号機 (SGR後)		美浜2号機 (SGR後)	
	AVT	ETA	高ETA	高AVT	AVT	ETA	高ETA	AVT	ETA	高ETA	AVT	ETA	高ETA	AVT	ETA	AVT	ETA
水処理	AVT	ETA	高ETA	高AVT	AVT	ETA	高ETA	AVT	ETA	高ETA	AVT	ETA	高ETA	AVT	ETA	AVT	ETA
運転サイクル数	10	8	2	3	2	7	4	3	8	1	2	7	2	2	9	2	11
運転時間 [×10 ⁴ hr]	9.8	8.0	2.0	2.4	1.9	7.1	3.5	10.9			9.8			10.0		11.6	
鉄持込み量 (水処理毎) [kg/SG]	1,680	650	70	90	400	450	90	430	610	40	170	530	100	170	500	300	840
鉄持込み量 (累積) [kg/SG]	2,490				940			1,080			800			670		1,140	

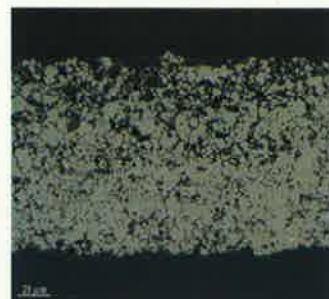
<薬品洗浄前後スケール性状比較>

○大飯発電所4号機において、薬品洗浄前後のスケール性状を断面ミクロ観察により比較した結果は以下の通りであり、薬品洗浄により、スケールが粗密化することを確認

薬品洗浄前のスケール※1



薬品洗浄後のスケール※2



- ※1 大飯発電所4号機第14回定期検査で回収
- ※2 実験室での薬品洗浄試験後（実機と同条件）
主な洗浄条件（鉄洗浄）は次の通り
EDTA濃度：1%
洗浄温度：80℃
洗浄時間：24時間

<3kHz-ECT>

○大飯発電所3および4号機においても、スケール厚さ把握のため、過去に周波数3kHzでECTを実施していることを確認

○運転時間が最も長いタイミングで取得したデータは、大飯発電所3号機第8回定期検査であり、以下の通り

（大飯発電所3号機第8回定期検査での取得データ（平成13年／7.9万時間／高温側））

第三管支持板以下：約0.05～0.06mm

第三管支持板以上：約0.09～0.17mm

○高浜発電所3および4号機での調査結果と同様に、伝熱管下部ほど薄く、上部ほど厚い傾向であることを確認

参考資料：スケールにより減肉した国内外事例調査

○高浜発電所 3号機および 4号機の特異性（スケールにより減肉した国内外事例調査）

国内外で報告されている伝熱管外面減肉事象を調査した結果、国内、海外共にスケールが原因とされた事例は認められなかった。

なお、国内外において、SGの運転時間が高浜発電所 3号機および 4号機で伝熱管外面減肉事象が生じた運転時間以上（EFPY ※¹23以上※²）であり、かつ薬品洗浄の実績が認められず、高浜発電所 3号機および 4号機と同等の伝熱管支持構造を有するプラントを調査した結果、8プラントのみであることを確認した。

※1：定格負荷相当年数（運転後累積発電電力量（MWh）÷870（MW）÷24（時/日）÷365（日/年）により算出する）

※2：高浜発電所 3号機第 2 3 回定期検査（EFPY24.0）、高浜発電所 3号機第 2 4 回定期検査（EFPY25.2）、高浜発電所 4号機第 2 2 回定期検査（EFPY24.3）、高浜発電所 4号機第 2 3 回定期検査（EFPY25.0）のうち最小の運転時間（EFPY24.0）に対し更に抽出範囲を広げるため、-EFPY1.0を追加考慮

プラント名	運開日	SG取替日	現行SG EFPY
プラントA	1986.8.1	—	28.5 (2019.9.14時点)
プラントB	1972.12.14	1982.4.1	30.2 (2020.3.30時点)
プラントC	1973.9.1	1983.5.1	30.0 (2020.10.3時点)
プラントD	1986.4.11	—	26.9 (2019.1.5時点)
プラントE	1985.12.4	—	25.3 (2018.4.7時点)
プラントF	1986.7.18	—	26.0 (2019.1.10時点)
プラントG	1978.6.1	1993.4.1	24.1 (2019.9.8時点)
プラントH	1990.6.7	—	24.7 (2019.2.16時点)

強度評価

国P]「蒸気発生器信頼性実証試験」((財)発電用熱機関協会、昭和50年度～昭和55年度)では、局部減肉を有する伝熱管の内圧強度評価手法を確立するため、内圧による高温破壊試験を実施している。その試験結果から導出された内圧破断評価式※を用いて、運転中および事故時を包絡する内外差圧による破断圧力を算出した。

得られた破断圧力について、通常運転時および事故時の最大内外差圧に対する裕度を確認することにより、減肉管の強度を評価した。

減肉深さ (%) (注1)	破断圧力 P_B (MPa)	事故時を包絡する作用内外差圧 (MPa) (注2)	裕度
36	33.81	■■■■	■■■■

(注1) 最大減肉深さのC-SG(X21,Y8)で代表

(注2) 設計基準事故時および重大事故等時を包絡する内外差圧

※本評価式は、過去の高浜発電所3および4号機SG伝熱管の旧振止め金具による局部減肉の特殊設計施設認可申請においても用いられており、下式にて表される。

$$P_B = \sigma_f \frac{t}{R} \left(\frac{1 - a/t}{1 - a/t \cdot 1/m} \right)$$

<今回の計算条件>

P_B : 局部減肉を有する伝熱管の破断圧力 (MPa)

σ_f : インコネル600合金の流動応力=343.8MPa (@361.3°C)

t : 板厚=■■■■ (最小板厚を考慮)

R : 平均半径 = $(D-t) / 2 =$ ■■■■ (D: 外径 = 22.23mm)

a : 減肉深さ = ■■■■ (= ■■■■ × 0.36)

m : Foliasのバルジ係数 (= $(1 + 1.05 \cdot c^2/R/t)^{1/2}$)

$2c$: 減肉幅 = 5mm

破断圧力は33.81MPaであり、通常運転時および事故時の最大内外差圧■■■■MPaに対し、十分な裕度があることを確認した。

⇒減肉した伝熱管が運転中および事故時の内外差圧により破断することはない。

■■■■: 枠組みの範囲は機密に係る事項ですので公開することはできません。

耐震性評価

減肉を有する伝熱管の耐震性について、次のとおり評価した。

- ・ 既工認※¹の基準地震動Ssによる地震力および伝熱管全長モデル (右図) ※²から、伝熱管直管部 (管支持板部) に作用する力 (部材力) を算出
- ・ 保守的に一様外面減肉と仮定し、伝熱管の断面積を減じた上で部材力から発生応力および疲労累積係数を算出し、許容値に対する裕度を確認

※¹：既工認添付資料13-17-3-2-2「蒸気発生器内部構造物の耐震計算書」(原規規発第1510091号、平成27年10月9日認可)

※²：高浜発電所4号機既工認(新規制基準工認)補足説明資料「高浜発電所第4号機 耐震性に関する説明書に係る補足説明資料 蒸気発生器伝熱管の評価について 関西電力株式会社 平成27年9月」

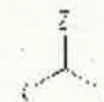
表 減肉を有する伝熱管の耐震性評価結果

応力分類	発生応力※ ³ および疲労累積係数	許容値	裕度
一次一般膜応力	157 MPa	334 MPa	2.1
膜応力+曲げ応力	158 MPa	437 MPa	2.7
一次+二次応力	115 MPa	492 MPa	4.2
疲労累積係数	0.003	1	-

※³：最大減肉深さのC-SG (X21,Y8) で代表

今回認められた減肉を考慮しても、発生応力および疲労累積係数に十分な裕度があること確認した。

⇒減肉した伝熱管が地震により損壊することはない。



伝熱管地震応答解析モデル

- S G 器内において小型カメラを用いて伝熱管の目視観察を実施した際に確認した摩耗痕に隣接した伝熱管の接触痕は、有意な減肉信号指示ではないことを確認した。



摩耗痕のある伝熱管と隣接した伝熱管の E C T 結果 (MIX:C-SG(X21,Y8)の例)

- 当社とスケールマネジメント方法の主な違いについて下表の通り整理した。
- 整理にあたっては、主要国である米国と仏国の状況を調査するため、E P R I等の各種レポートを確認するとともに、E P R IおよびE D Fへの問合せを行った。

＜整理結果＞

項目	当社	海外※
B E C穴閉塞	<ul style="list-style-type: none"> ・E C Tおよび目視による閉塞率管理 ・機械式洗浄による閉塞回復 	<ul style="list-style-type: none"> ・E C Tや目視、S G二次側水位による閉塞率管理 ・薬品洗浄による閉塞回復
管板直上の腐食環境生成	<ul style="list-style-type: none"> ・スラッジランシング（毎定検） 	<ul style="list-style-type: none"> ・スラッジランシング ・薬品洗浄
伝熱性能低下	<ul style="list-style-type: none"> ・薬品洗浄 	<ul style="list-style-type: none"> ・薬品洗浄他

※ E P R I S G M P 専有レポート“Deposit Removal Strategies Sourcebook (3002005090)”他より

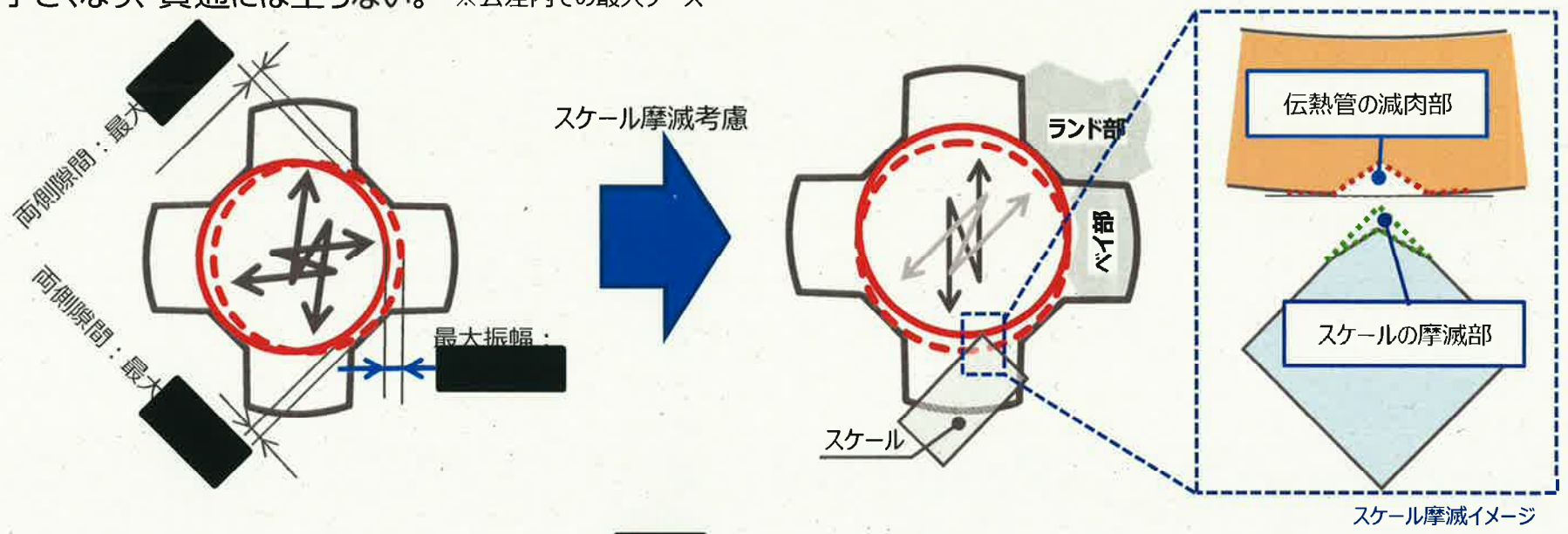
- 当社において薬品洗浄で対応するのは伝熱性能の低下のみ
 - 海外においては、主にB E C穴閉塞対応で薬品洗浄を用いている他、管板直上スラッジの除去にも活用
- ⇒海外においては、薬品洗浄はスケールマネジメントにおける主要な対策と位置付けられていると推察され、結果として、多くのプラントが薬品洗浄を経験しているものと考えられる。

<スケールと異物の減肉メカニズムの考察>

- スケールが伝熱管に摩耗減肉を与えるメカニズムは、次の通りであり、異物の場合と同じである。
 - ・流体力で振動する伝熱管が、上昇流で管支持板下面に押付けられたスケールに接触すると、接触部で伝熱管は撓動
 - ・このとき、スケールが伝熱管との撓動で破損しなければ、撓動は継続し、伝熱管には摩耗減肉が発生
 - ・比摩耗量についても、スケールと異物（SUS304で $6.6 \times 10^{-15} \text{ m}^2/\text{N}$ ）は同等
- ただし、同じ比摩耗量、同じワークレートで撓動し続けたとしても、最終的な摩耗減肉量は異物の場合より小さい。
 - ・スケールは微細な粒子で構成されるため、伝熱管との撓動で、自身が摩滅（構成粒子が脱落、又は微細な折損）
 - ・伝熱管と接触しなくなるまで自身の摩滅が進むと、その時点で伝熱管の摩耗減肉の進展は停止
 - ・異物の場合は、スケールのような摩滅現象は顕著でないため、異物の方が最終的な摩耗減肉量は大きくなる

<最大減肉深さの考察>

- 減肉メカニズムは異物と同じであり、最大減肉深さの考え方（伝熱管最大振幅に制限）も同じである。
- 異物の場合の最大減肉深さは [] ※となるが、スケールの場合は自身も摩滅するため、最大減肉深さは異物の場合よりも小さくなり、貫通には至らない。 ※公差内での最大ケース



[] : 枠組みの範囲は機密に係る事項ですので公開することはできません。

S G器内に薬液※を注入し、伝熱管全体を浸すことにより、伝熱管表面のスケールを緩やかに溶解させ、稠密な性状のスケールを粗密化させ、脆弱化させる効果がある。薬品洗浄は鉄洗浄、銅洗浄の2ステップからなり、スケールの粗密化（脆弱化）効果をもたらすのは鉄洗浄である。

※ エチレンジアミン四酢酸（Ethylene Diamine Tetra acetic Acid：EDTA）。合成洗剤に使用される酸の一種で鉄、銅の溶解を促進する効果あり

<鉄洗浄>

- ・スケールを一部溶解させ、粗密化させる目的で実施する。
- ・鉄洗浄によるスケール粗密化のメカニズムは次の通り。

- ① S G器内を高濃度のヒドラジン水（1, 0 0 0 p p m）で浸漬し、還元性雰囲気を作成する。
- ② スケール中には空隙が存在することから、高濃度ヒドラジン水はスケール内部まで浸入し、還元性環境下でスケール（マグネタイト： $F e_3 O_4$ ）中の $F e^{3+}$ は $F e^{2+}$ として溶出することで、スケールの粗密化が進む。
- ③ 溶出した $F e^{2+}$ はE D T Aと結合して安定な化合物（キレート錯体）を作る。

<銅洗浄>

- ・鉄洗浄で分離した銅（金属銅）がS G器内で酸化（酸化銅）し、伝熱管の腐食性雰囲気を作成しないよう銅洗浄により除去する。
- ・銅洗浄による銅除去のメカニズムは次の通り。

- ① 空気注入による酸化性雰囲気中で金属銅（C u）を $C u^{2+}$ として溶解する。
- ② 溶出した $C u^{2+}$ はE D T Aと結合して安定な化合物（キレート錯体）を作る。

<主な洗浄条件（国内適用実績）>

項目	鉄洗浄		銅洗浄	
EDTA	1~3% (10,000~30,000ppm)	国内実績値	0.4% (大飯3号機実績)	Cu含有量の2倍
その他薬品	・アンモニア ・ヒドラジン (1,000ppm)	pH調整 還元性雰囲気	・アンモニア ・重炭酸アンモニウム	pH調整 EDTA触媒
温度	80℃	-	65℃以下	-
pH	9	アンモニアで調整	10	アンモニアで調整
洗浄雰囲気	還元性雰囲気	N ₂ バブリング	酸化性雰囲気	エアバブリング
洗浄時間	24hr	反応飽和目安	24hr	反応飽和目安

○薬品洗浄に伴う伝熱管等への影響

薬品洗浄を実施することで脆弱化したスケールが伝熱管から剥離するが、脆弱化したスケールがプラント運転中にS G器内の上昇流に伴って伝熱管に接触し、摩耗したとしても、脆弱化したスケールでは伝熱管を減肉させることはない。また、脆弱化したスケールが管板上へ堆積することで、管板上へのスラッジの堆積量が増加すると想定されるが、スラッジでは伝熱管を減肉させることはない。

プラント停止後は、剥離したスケールがS G器内水のブロー時にブロー水とともにS G器外に流出するが、これまで薬品洗浄を実施している大飯発電所3号機および4号機において、S G B D配管等閉塞するなどの事例は認められていないことから、剥離したスケールがプラントに影響を及ぼすことはないと考えられる。

○薬品洗浄の系統概要

S G B D系統等に仮設系統を接続し、薬品注入並びに鉄洗浄および銅洗浄を行った後は、S G B D系統および仮設系統を経由して排水する。

